

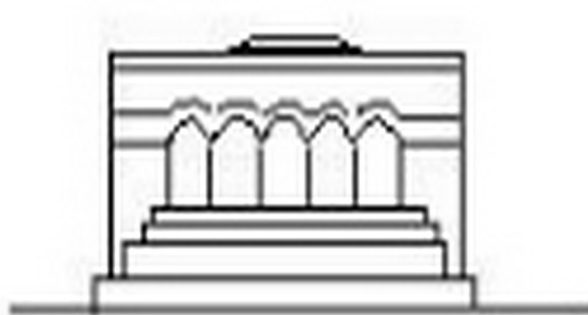
ՍԵՐԱՆԻԿԱ



МЕХАНИКА



MECHANICS



1969

А. А. ХАЧАТРЯН

К ТЕОРИИ ОСЕСИММЕТРИЧНО НАГРУЖЕННЫХ  
 ОБОЛОЧЕК ВРАЩЕНИЯ, ИЗГОТОВЛЕННЫХ ИЗ  
 РАЗНОМОДУЛЬНОГО МАТЕРИАЛА

Построению теории осесимметричных и неосесимметричных оболочек, изготовленных из разномодульного материала, посвящены работы [1, 2], где принимается условие слабомоментности оболочек, т. е. условие, при котором напряжения по толщине оболочки не меняют своего знака. Имеется также одна работа [3], посвященная осесимметричной задаче круговой цилиндрической оболочки, изготовленной из разномодульного материала, где условие слабомоментности не принимается.

В настоящей работе на уровне классической теории оболочек, базирующейся на гипотезе недеформируемых нормалей, строится теория осесимметрично нагруженных оболочек вращения, изготовленных из разномодульного материала, без ограничения выводов условием слабомоментности идоль меридиана.

1. Рассмотрим симметрично нагруженную оболочку вращения, изготовленную из разномодульного материала с упругими характеристиками  $E^+$ ,  $\nu$  (при растяжении в любом направлении) и  $E^-$ ,  $\nu$  (при сжатии в любом направлении).

Пусть оболочка отнесена к триортогональной системе координат  $s, \varphi, \psi$ , где линии  $s = \text{const}$  представляют собой параллели,  $\varphi = \text{const}$  — меридианы срединной поверхности оболочки, а  $\psi$  направлена по внешней нормали к срединной поверхности. Введем также угол  $\theta$ , представляющий собой угол между касательной к меридиану и осью вращения оболочки.

В основу предлагаемой теории ставится гипотеза недеформируемых нормалей.

Ввиду осесимметричности задачи все расчетные величины\* не зависят от  $\varphi$  и для геометрических соотношений имеем [4, 5]

$$k_1 = \frac{1}{R_1} = \frac{d\theta}{ds}, \quad k_2 = \frac{1}{R_2} = \frac{\cos \theta}{r} \quad (1.1)$$

$$A = 1, \quad B = r = R_2 \cos \theta, \quad \frac{dr}{ds} = -\sin \theta$$

\* Здесь использованы общепринятые обозначения, см., напр., [5].

$$\varepsilon_1 = \frac{du}{ds} + \frac{w}{R_1}, \quad \varepsilon_2 = \frac{1}{r} (w \cos \theta - u \sin \theta), \quad \gamma = 0 \quad (1.2)$$

$$\gamma_1 = -\frac{d}{ds} \left( \frac{dw}{ds} - \frac{u}{R_1} \right), \quad \gamma_2 = \left( \frac{dw}{ds} - \frac{u}{R_1} \right) \frac{\sin \theta}{r}, \quad \gamma = 0 \quad (1.3)$$

$$e_1 = \varepsilon_1 + \gamma \gamma_1, \quad e_2 = \varepsilon_2 + \gamma \gamma_2, \quad e_{12} = \gamma + \gamma \gamma = 0 \quad (1.3)$$

а уравнение неразрывности деформаций будет

$$\frac{d\varepsilon_2}{ds} - (\varepsilon_2 - \varepsilon_1) \frac{\sin \theta}{r} - \varepsilon_2 \operatorname{ctg} \theta = 0 \quad (1.4)$$

Имеем также следующие уравнения равновесия для элемента оболочки:

$$\begin{aligned} \frac{d}{ds} (r T_s) + T_s \sin \theta + \frac{r}{R_1} N &= -r X \\ \frac{d}{ds} (r N) - r \left( \frac{T_s}{R_1} + \frac{T_\varphi}{R_2} \right) &= -r Z \\ \frac{d}{ds} (r M_s) + M_s \sin \theta - r N &= 0 \end{aligned} \quad (1.5)$$

где

$$\begin{aligned} T_s &= \int_{-\frac{h}{2}}^{\frac{h}{2}} \sigma_s d\gamma, \quad T_\varphi = \int_{-\frac{h}{2}}^{\frac{h}{2}} \sigma_\varphi d\gamma, \quad N = \int_{-\frac{h}{2}}^{\frac{h}{2}} \tau_s d\gamma \\ M_s &= \int_{-\frac{h}{2}}^{\frac{h}{2}} \gamma \sigma_s d\gamma, \quad M_\varphi = \int_{-\frac{h}{2}}^{\frac{h}{2}} \gamma \sigma_\varphi d\gamma \end{aligned} \quad (1.6)$$

Относительно напряжений здесь приняты следующие предположения:  
а) напряжение  $\tau_s$  пренебрегается по сравнению с другими напряжениями;

б) напряжение  $\varepsilon_s$  по толщине оболочки изменяется по кусочно-линейному закону, при этом в точке разделя меняет свой знак;

в) напряжение  $\varepsilon_\varphi$  по толщине оболочки изменяется по линейному закону, причем по всей толщине имеет один и тот же знак.

Последнее предположение равносильно принятию условия слабомоментности по направлению  $\varphi$ . Однако, по-видимому, это предположение нельзя считать ограничивающим, если учесть, что в большинстве решений задач в классической постановке при обычном изотропном материале условие слабомоментности по направлению  $\varphi$  выполняется.

Таким образом, с учетом принятых выше предположений, в некоторой части оболочки будем иметь следующие выражения распределения напряжений по толщине оболочки и соответствующие им законы упругости:

$$\text{а)} \quad \sigma_z > 0 \quad \text{при} \quad -\frac{h}{2} \leq \gamma \leq \frac{h}{2}$$

$$\sigma_s = \begin{cases} > 0 & \text{при} \quad -\frac{h}{2} \leq \gamma < \eta_1 \\ < 0 & \text{при} \quad \eta_1 < \gamma \leq \frac{h}{2} \end{cases}$$

$$\left. \begin{array}{l} e_s = a_{11}\sigma_s + a_{12}\sigma_z \\ e_z = a_{12}\sigma_s + a_{11}\sigma_z \end{array} \right\} \quad \text{при} \quad -\frac{h}{2} \leq \gamma < \eta_1$$

$$\left. \begin{array}{l} e_s = a_{22}\sigma_s + a_{12}\sigma_z \\ e_z = a_{12}\sigma_s + a_{11}\sigma_z \end{array} \right\} \quad \text{при} \quad \eta_1 < \gamma \leq \frac{h}{2}$$

$$\text{б)} \quad \sigma_z > 0 \quad \text{при} \quad -\frac{h}{2} \leq \gamma \leq \frac{h}{2}$$

$$\sigma_s = \begin{cases} < 0 & \text{при} \quad -\frac{h}{2} \leq \gamma < \eta_2 \\ > 0 & \text{при} \quad \eta_2 < \gamma \leq \frac{h}{2} \end{cases}$$

$$\left. \begin{array}{l} e_s = a_{22}\sigma_s + a_{12}\sigma_z \\ e_z = a_{12}\sigma_s + a_{11}\sigma_z \end{array} \right\} \quad \text{при} \quad -\frac{h}{2} \leq \gamma < \eta_2$$

$$\left. \begin{array}{l} e_s = a_{11}\sigma_s + a_{12}\sigma_z \\ e_z = a_{12}\sigma_s + a_{11}\sigma_z \end{array} \right\} \quad \text{при} \quad \eta_2 < \gamma \leq \frac{h}{2}$$

$$\text{в)} \quad \sigma_z < 0 \quad \text{при} \quad -\frac{h}{2} \leq \gamma \leq \frac{h}{2}$$

$$\sigma_s = \begin{cases} > 0 & \text{при} \quad -\frac{h}{2} \leq \gamma < \eta_3 \\ < 0 & \text{при} \quad \eta_3 < \gamma \leq \frac{h}{2} \end{cases}$$

$$\left. \begin{array}{l} e_s = a_{11}\sigma_s + a_{12}\sigma_z \\ e_z = a_{12}\sigma_s + a_{22}\sigma_z \end{array} \right\} \quad \text{при} \quad -\frac{h}{2} \leq \gamma < \eta_3$$

$$\left. \begin{array}{l} e_s = a_{22}\sigma_s + a_{12}\sigma_z \\ e_z = a_{12}\sigma_s + a_{11}\sigma_z \end{array} \right\} \quad \text{при} \quad \eta_3 < \gamma \leq \frac{h}{2}$$

г)  $\varepsilon_s < 0$  при  $-\frac{h}{2} \leq \gamma \leq \frac{h}{2}$

$$\varepsilon_s = \begin{cases} < 0 & \text{при } -\frac{h}{2} \leq \gamma < \gamma_4 \\ > 0 & \text{при } \gamma_4 \leq \gamma \leq \frac{h}{2} \end{cases}$$

$$\left. \begin{array}{l} e_s = a_{22}\varepsilon_s + a_{12}\varepsilon_1 \\ e_1 = a_{12}\varepsilon_s + a_{22}\varepsilon_1 \end{array} \right\} \text{при } -\frac{h}{2} \leq \gamma < \gamma_4$$

$$\left. \begin{array}{l} e_s = a_{11}\varepsilon_s + a_{12}\varepsilon_1 \\ e_1 = a_{12}\varepsilon_s + a_{22}\varepsilon_1 \end{array} \right\} \text{при } \gamma_4 \leq \gamma \leq \frac{h}{2}$$

Здесь  $\gamma_i$  — значение  $\gamma$  для каждого варианта, где  $\varepsilon_s$  обращается в нуль,

$$a_{11} = -\frac{1}{E}, \quad a_{22} = \frac{1}{E}, \quad a_{12} = -\frac{\gamma^+}{E} = -\frac{\gamma^-}{E} \quad (1.7)$$

Детальное изучение этих вариантов приводит к заключению, что рассмотренные четыре варианта можно объединить в два введением коэффициента  $a_{33}$ , который будет принимать значения  $a_{11}$  или  $a_{22}$  в зависимости от знака  $\varepsilon_s$ . А именно:

I вариант

$$\varepsilon_s = \begin{cases} > 0 & \text{при } -\frac{h}{2} \leq \gamma < \gamma_1 \\ < 0 & \text{при } \gamma_1 \leq \gamma \leq \frac{h}{2} \end{cases} \quad (1.8)$$

Закон упругости при этом будет

$$\left. \begin{array}{l} e_s = a_{11}\varepsilon_s + a_{12}\varepsilon_1 \\ e_1 = a_{12}\varepsilon_s + a_{33}\varepsilon_1 \end{array} \right\} \text{при } -\frac{h}{2} \leq \gamma < \gamma_1$$

$$\left. \begin{array}{l} e_s = a_{22}\varepsilon_s + a_{12}\varepsilon_1 \\ e_1 = a_{12}\varepsilon_s + a_{33}\varepsilon_1 \end{array} \right\} \text{при } \gamma_1 \leq \gamma \leq \frac{h}{2} \quad (1.9)$$

Решая (1.9) относительно напряжений и подставляя значения  $e_s$  и  $e_1$  из (1.3), получим

$$\left. \begin{array}{l} \varepsilon_s = \frac{a_{33}\varepsilon_1 - a_{12}\varepsilon_2}{a_{11}a_{33} - a_{12}^2} + \frac{a_{11}\gamma_1 - a_{12}\gamma_2}{a_{11}a_{33} - a_{12}^2} \\ \varepsilon_1 = \frac{a_{11}\varepsilon_2 - a_{12}\varepsilon_1}{a_{33}a_{12} - a_{12}^2} + \frac{a_{11}\gamma_2 - a_{12}\gamma_1}{a_{33}a_{12} - a_{12}^2} \end{array} \right\} \text{при } -\frac{h}{2} \leq \gamma < \gamma_1 \quad (1.10)$$

$$\left. \begin{array}{l} z_1 = \frac{a_{33}\varepsilon_1 - a_{12}\varepsilon_2}{a_{22}a_{33} - a_{12}^2} + \gamma \frac{a_{33}\chi_1 - a_{12}\chi_2}{a_{22}a_{33} - a_{12}^2} \\ z_2 = \frac{a_{22}\varepsilon_2 - a_{12}\varepsilon_1}{a_{22}a_{33} - a_{12}^2} + \gamma \frac{a_{22}\chi_2 - a_{12}\chi_1}{a_{22}a_{33} - a_{12}^2} \end{array} \right\} \text{при } \tau_0 < \gamma < \frac{h}{2}$$

II вариант

$$z_1 = \begin{cases} < 0 & \text{при } -\frac{h}{2} < \gamma < \tau_0 \\ > 0 & \text{при } \tau_0 < \gamma < \frac{h}{2} \end{cases} \quad (1.11)$$

Закон упругости при этом будет

$$\left. \begin{array}{l} e_1 = a_{22}\varepsilon_1 + a_{12}\varepsilon_2 \\ e_2 = a_{12}\varepsilon_1 + a_{33}\varepsilon_2 \end{array} \right\} \text{при } -\frac{h}{2} < \gamma < \tau_0 \quad (1.12)$$

$$\left. \begin{array}{l} e_1 = a_{11}\varepsilon_1 + a_{12}\varepsilon_2 \\ e_2 = a_{12}\varepsilon_1 + a_{33}\varepsilon_2 \end{array} \right\} \text{при } \tau_0 < \gamma < \frac{h}{2}$$

или

$$\left. \begin{array}{l} z_1 = \frac{a_{33}\varepsilon_1 - a_{12}\varepsilon_2}{a_{22}a_{33} - a_{12}^2} + \gamma \frac{a_{33}\chi_1 - a_{12}\chi_2}{a_{22}a_{33} - a_{12}^2} \\ z_2 = \frac{a_{22}\varepsilon_2 - a_{12}\varepsilon_1}{a_{22}a_{33} - a_{12}^2} + \gamma \frac{a_{22}\chi_2 - a_{12}\chi_1}{a_{22}a_{33} - a_{12}^2} \end{array} \right\} \text{при } -\frac{h}{2} < \gamma < \tau_0 \quad (1.13)$$

$$\left. \begin{array}{l} z_1 = \frac{a_{33}\varepsilon_1 - a_{12}\varepsilon_2}{a_{11}a_{33} - a_{12}^2} + \gamma \frac{a_{33}\chi_1 - a_{12}\chi_2}{a_{11}a_{33} - a_{12}^2} \\ z_2 = \frac{a_{11}\varepsilon_2 - a_{12}\varepsilon_1}{a_{11}a_{33} - a_{12}^2} + \gamma \frac{a_{11}\chi_2 - a_{12}\chi_1}{a_{11}a_{33} - a_{12}^2} \end{array} \right\} \text{при } \tau_0 < \gamma < \frac{h}{2}$$

Из условия обращения в нуль напряжений  $\sigma_s$ , независимо от вариантов, получаем

$$\tau_0 = \tau_2 = \gamma = -\frac{a_{33}\varepsilon_1 - a_{12}\varepsilon_2}{a_{33}\chi_1 - a_{12}\chi_2} \quad (1.14)$$

Во всех приведенных здесь формулах следует учесть, что

$$\left. \begin{array}{ll} \text{при } \tau_0 > 0 & a_{33} = a_{11} = \frac{1}{E} \\ \text{при } \tau_0 < 0 & a_{33} = a_{22} = \frac{1}{E} \end{array} \right\} \quad (1.15)$$

По этим двум вариантам, с помощью формул (1.6), вычисляя тангенциальные усилия и моменты и учитывая, что в первом варианте

$M_s < 0$ , а во втором варианте  $M_s > 0$ , замечаем, что их можно представить в следующей единой форме:

$$\begin{aligned} T_1 &= C_{11}z_1 + C_{12}z_2 + \mu(K_{11}z_1 + K_{12}z_2) + \mu b_{11} \frac{(a_{33}z_1 - a_{12}z_2)}{a_{33}z_1 - a_{12}z_2} \\ T_2 &= C_{12}z_1 + C_{22}z_2 + \mu(K_{12}z_1 + K_{22}z_2) + \mu b_{12} \frac{(a_{33}z_1 - a_{12}z_2)}{a_{33}z_1 - a_{12}z_2} \end{aligned} \quad (1.16)$$

$$M_s = D_{11}z_1 + D_{12}z_2 + \mu(K_{11}z_1 + K_{12}z_2) - \frac{1}{3}\mu b_{11} \frac{(a_{33}z_1 - a_{12}z_2)^2}{(a_{33}z_1 - a_{12}z_2)^2}$$

$$M_s = D_{12}z_1 + D_{22}z_2 + \mu(K_{12}z_1 + K_{22}z_2) - \frac{1}{3}\mu b_{12} \frac{(a_{33}z_1 - a_{12}z_2)^2}{(a_{33}z_1 - a_{12}z_2)^2}$$

где

$$\begin{aligned} C_{11} &= \frac{a_{33}(a_{33}(a_{11} + a_{22}) - 2a_{12})}{(a_{33}a_{33} - a_{12}^2)(a_{33}a_{33} - a_{12}^2)} \frac{h}{2}, & C_{12} &= -\frac{a_{12}}{a_{33}} C_{11} \\ C_{12} &= \frac{2a_{12}a_{33}a_{33} - a_{12}^2(a_{11} + a_{22})}{(a_{11}a_{33} - a_{12}^2)(a_{22}a_{33} - a_{12}^2)} \frac{h}{2}, & K_{11} &= -\frac{a_{11}}{a_{33}} K_{12} \\ K_{11} &= \frac{a_{33}(a_{33} + a_{11})}{(a_{33}a_{33} - a_{12}^2)(a_{22}a_{33} - a_{12}^2)} \frac{h^2}{8}, & K_{12} &= -\frac{a_{12}}{a_{33}} K_{11} \end{aligned} \quad (1.17)$$

$$b_{11} = \frac{a_{33}(a_{11} + a_{22})}{2(a_{11}a_{33} - a_{12}^2)(a_{22}a_{33} - a_{12}^2)}, \quad b_{12} = -\frac{a_{12}}{a_{33}} b_{11}$$

$$D_{11} = \frac{k^2}{12} C_{11} z_1, \quad \mu = \frac{a_{33} - a_{11}}{a_{33} + a_{11}} \operatorname{sign} M_s$$

Рассматривая (1.16) и (1.17), замечаем, что оба варианта отличаются друг от друга только знаком коэффициента  $\mu$ , причем остальные коэффициенты (1.17) относительно  $a_{11}$  и  $a_{22}$  имеют симметричную структуру. Поэтому независимо от вариантов для тангенциальных усилий и моментов можно принимать выражения (1.16) при значении  $\mu$ , скажем,

$$\mu = \frac{a_{33} - a_{11}}{a_{33} + a_{11}} \quad (1.18)$$

которое соответствует случаю  $M_s > 0$  (II вариант) и коэффициенты  $a_{11}$ ,  $a_{22}$  определяются согласно (1.7). В случае же, когда  $M_s < 0$  (I вариант), все остается по-прежнему, только в (1.18) коэффициенты  $a_{11}$  и  $a_{22}$  поменяются местами.

Как видно из (1.16), усилия и моменты содержат нелинейные члены, которые при обычном изотропном материале исчезают ( $\mu = 0$ ).

Теперь можно приступить к составлению уравнения равновесия. Здесь, как и в случае обычной классической теории [3, 4], удобнее пользоваться функциями Мейснера ( $W, V$ ), через которые изменения кривизны и внутренние силы выражаются следующим образом:

$$\kappa_1 = -\frac{dW}{ds}, \quad \kappa_2 = W \frac{\sin \theta}{r}, \quad W = \frac{du}{ds} - \frac{u}{R_1} \quad (1.19)$$

$$T_s = -V \frac{\sin \theta}{r} + \frac{1}{r} F_1(s), \quad T_r = \frac{dV}{ds} \\ N = V \frac{\cos \theta}{r} + \frac{1}{r} F_2(s) \quad (1.20)$$

Здесь  $F_1(s)$  и  $F_2(s)$  являются известными функциями от внешней нагрузки

$$F_1(s) = \sin \theta \int r E_r ds + \cos \theta \left( P_s^v - \int r E_z ds \right) \\ F_2(s) = -\cos \theta \int r E_r ds + \sin \theta \left( P_r^v - \int r E_z ds \right) \quad (1.21)$$

где

$$E_r = Z \cos \theta - X \sin \theta, \quad E_z = Z \sin \theta + X \cos \theta \\ P_s^v = r_a (T_r \cos \theta_0 + N \sin \theta_0) \quad (1.22)$$

а величины с индексами представляют собой значения соответствующих величин в сечении  $s = s_0$ .

В силу (1.20)–(1.22) первые два уравнения (1.5) удовлетворяются тождественно, а третье уравнение принимает вид

$$\frac{d}{ds} (r M_s) + M_s \sin \theta - V \cos \theta = F_r \quad (1.23)$$

В силу же (1.19) уравнение неразрывности (1.4) принимает вид

$$\frac{dt_r}{ds} - (\kappa_r - \kappa_1) \frac{\sin \theta}{r} - W \frac{\cos \theta}{r} = 0 \quad (1.24)$$

Из первых двух соотношений (1.16), вычисляя  $\kappa_1$  и  $\kappa_r$ , находим

$$\kappa_1 = \frac{1}{h} \left( \frac{a_{33} C_{33}}{C_{11}} T_s + a_{12} T_r \right) - \mu Q \quad (1.25)$$

$$\kappa_r = \frac{1}{h} (a_{12} T_s + a_{33} T_r)$$

где

$$Q = \frac{2(K_{11}z_1 + K_{12}z_2)}{C_{11}(1+\beta)} \left| 1 + \frac{2a_{33}b_{11}K_{11}T^*(T^*-\mu)}{C_{11}(1+\beta)} \right| \quad (1.26)$$

$$\zeta = \left| 1 + \frac{4\mu a_{33}b_{11}K_{11}}{C_{11}} (T^* - \mu) \right|^{\frac{1}{2}}, \quad T^* = \frac{T_s}{K_{11}z_1 + K_{12}z_2}$$

В принятых обозначениях для изгибающих моментов имеем

$$M_z = -D_{11} \frac{dW}{ds} + D_{12} W \frac{\sin \theta}{r} - \mu \frac{K_{11}}{C_{11}} \left( V \frac{\sin \theta}{r} - F_1 \right) -$$

$$- \mu^2 K_{11} Q - \mu \frac{a_{33}b_{11}K_{11}}{3C_{11}} \frac{(T_s - \mu C_{11}Q)^2}{(K_{11}z_1 + K_{12}z_2)^2} \quad (1.27)$$

$$M_z = -\frac{a_{33}}{a_{33}} M_s + \frac{h^3}{12a_{33}} W \frac{\sin \theta}{r}$$

Подставляя теперь (1.25) и (1.24) в (1.27) и (1.23), окончательно получим следующую систему двух уравнений относительно  $V$  и  $W$ :

$$\left( L_s - \frac{C_{12}}{C_{11}} \frac{1}{R_1 R_2} \right) V - \frac{h}{a_{33}} \frac{W}{R_1} - \mu \frac{h}{a_{33}} \frac{\sin \theta}{r} Q -$$

$$= -\frac{1}{r} \left( \frac{C_{12}}{C_{11}} \frac{dF_1}{ds} - \frac{C_{22}}{C_{11}} \frac{\sin \theta}{r} F_1 \right)$$

$$\left( L_s - \frac{C_{12}}{C_{11}} \frac{1}{R_1 R_2} \right) W - \frac{1}{D_{11}} \frac{V}{R_2} + \mu \frac{K_{11}}{C_{11} D_{11}} \nabla_s \left( \frac{\sin \theta}{r} V \right) + \quad (1.28)$$

$$+ \mu^2 \frac{K_{11}}{D_{11}} \nabla_s Q + \mu \frac{a_{33}b_{11}K_{11}^2}{3C_{11}^3 D_{11}} \nabla_s \left| \frac{(T_s - \mu C_{11}Q)^2}{(K_{11}z_1 + K_{12}z_2)^2} \right| =$$

$$= -\frac{1}{D_{11}} \left| \frac{F_2}{r} - \mu \frac{K_{11}}{C_{11}} \nabla_s \left( \frac{F_1}{r} \right) \right|$$

где операторы  $\nabla_s$  и  $L_s$  имеют вид

$$\nabla_s = \frac{d}{ds} - \frac{a_{33} + a_{12}}{a_{33}} \frac{\sin \theta}{r} \quad (1.29)$$

$$L_s = \frac{d^2}{ds^2} - \frac{\sin \theta}{r} \frac{d}{ds} - \frac{C_{22}}{C_{11}} \frac{\sin^2 \theta}{r^2}$$

Как видно из (1.28), полученные уравнения являются нелинейными относительно искомых функций. Нетрудно заметить также, что при  $T_s = 0$  нелинейности исчезают и разрешающая система (1.28) становится линейной.

Ниже будем рассматривать некоторые частные случаи оболочек.

2. Круговая коническая оболочка. В случае кругоной конической оболочки имеем

$$k_1 = \frac{1}{R_1} = 0, \quad \theta = \text{const} \quad (2.1)$$

Здесь вместо  $s$  за независимую переменную удобнее принимать  $r$  [4]. Тогда учитывая, что

$$\frac{d}{ds} = -\sin \theta \frac{d}{dr} \quad (2.2)$$

уравнения (1.28) в рассматриваемом случае можно представить в виде

$$\begin{aligned} L_r(V) - \frac{h}{a_{11}} \frac{\cos \theta}{\sin^2 \theta} \frac{W}{r} - \frac{pK_{11}}{a_{11} \sin \theta} \frac{Q}{r} &= -\frac{1}{r \sin \theta} \left( \frac{C_{12}}{C_{11}} \frac{dF_1}{dr} + \frac{C_{11}}{C_{11}} \frac{F_1}{r} \right) \\ L_r(W) + \frac{\cos \theta}{D_{11} \sin^2 \theta} \frac{V}{r} - \frac{pK_{11}}{C_{11} D_{11}} \nabla_r \left( \frac{V}{r} \right) - \frac{p^2 K_{11}}{D_{11} \sin \theta} \nabla_r Q - (2.3) \\ - p \frac{a_{11} b_{11} K_{11}^2}{3 C_{11}^2 D_{11} \sin \theta} \nabla_r \left| \frac{(T_s - p C_{11} Q)^2}{(K_{11} x_1 + K_{12} x_2)^2} \right| &= \\ - \frac{1}{D_{11} \sin^2 \theta} \left| \frac{F_2}{r} + p \frac{K_{11} \sin \theta}{C_{11}} \nabla_r \left( \frac{F_1}{r} \right) \right| \end{aligned}$$

Здесь операторы  $\nabla_r$  и  $L_r$  имеют вид

$$\begin{aligned} \nabla_r &= \frac{d}{dr} - \frac{a_{12} + a_{21}}{a_{11}} \frac{1}{r} \\ L_r &= \frac{d^2}{dr^2} - \frac{1}{r} \frac{d}{dr} - \frac{C_{12}}{C_{11}} \frac{1}{r^2} \quad (2.4) \end{aligned}$$

а  $F_1$  и  $F_2$  определяются по формулам

$$F_1 = \frac{1}{\sin \theta} \int_{r_0}^r r X dr + P_i \cos \theta, \quad F_2 = \frac{1}{\sin \theta} \int_{r_0}^r r Z dr + P_i \sin \theta \quad (2.5)$$

где

$$P_i = r_0 (T_s \cos \theta + N^0 \sin \theta) \quad (2.6)$$

Приведем также выражение для изгибающего момента  $M_s$

$$\begin{aligned} M_s &= \left( D_{11} \frac{dW}{dr} + D_{12} \frac{W}{r} \right) \sin \theta - p \frac{K_{11}}{C_{11}} \left( V \frac{\sin \theta}{r} - \frac{F_1}{r} \right) - \\ &- p K_{11} Q - p \frac{a_{11} b_{11} K_{11}^2}{3 C_{11}} \frac{(T_s - p C_{11} Q)^2}{(K_{11} x_1 + K_{12} x_2)^2} \quad (2.7) \end{aligned}$$

3. Сферическая оболочка. В случае сферической оболочки имеем

$$R_1 = R_2 = R = \text{const} \quad (3.1)$$

Здесь, аналогично [4], условимся отсчитывать дугу  $s$  от экватора сферы и введем и рассмотрение угол  $\beta$ , отсчитываемый по меридиану от полюса. Тогда будем иметь

$$\theta = \frac{\pi}{2} - \beta, \quad s = R \left( \frac{\pi}{2} - \beta \right), \quad r = R \sin \beta \quad (3.2)$$

Принимая за независимую переменную угол  $\beta$  и учитывая, что

$$\frac{d}{ds} = -\frac{1}{R} \frac{d}{d\beta} \quad (3.3)$$

уравнения (1.28) в рассматриваемом случае можно представить в виде

$$\begin{aligned} & \left( L_\beta + \frac{C_{12}}{C_{11}} \right) V - \frac{Rh}{a_{33}} W - \mu \frac{Rh}{a_{33}} Q \operatorname{ctg} \beta = \\ & = -\frac{1}{\sin \beta} \left( \frac{C_{12}}{C_{11}} \frac{dF_1}{d\beta} + \frac{C_{22}}{C_{11}} F_1 \operatorname{ctg} \beta \right) \\ & \left( L_\beta - \frac{C_{12}}{C_{11}} \right) W + \frac{R}{D_{11}} V - \mu \frac{K_{11}}{C_{11} D_{11}} \nabla_\beta (V \operatorname{ctg} \beta) - \nu^2 \frac{K_{11} R}{D_{11}} \nabla_\beta Q = \quad (3.4) \\ & - \mu \frac{a_{33} b_{21} K_{11}^2 R}{3 C_{11}^3 D_{11}} \nabla_\beta \left| \frac{(T_1 - \mu C_{11} Q)^3}{(K_{11} \gamma_1 + K_{12} \alpha_2)^2} \right| = \\ & = -\frac{R}{D_{11}} \left| \frac{F_2}{\sin \beta} + \mu \frac{K_{11}}{C_{11} R} \nabla_\beta \left( \frac{F_1}{\sin \beta} \right) \right| \end{aligned}$$

Здесь операторы  $\nabla_\beta$  и  $L_\beta$  имеют вид

$$\begin{aligned} \nabla_\beta &= \frac{d}{d\beta} + \frac{a_{33} - a_{12}}{a_{33}} \operatorname{ctg} \beta \\ L_\beta &= \frac{d^2}{d\beta^2} + \operatorname{ctg} \beta \frac{d}{d\beta} - \frac{C_{22}}{C_{11}} \operatorname{ctg} \beta \end{aligned} \quad (3.5)$$

а  $F_1$  и  $F_2$  определяются по формулам

$$F_1 = P_z^0 \sin \beta + R^2 \int_{\beta_0}^{\beta} |X \cos(\alpha - \beta) - Z \sin(\alpha - \beta)| \sin \alpha d\alpha \quad (3.6)$$

$$F_2 = P_z^0 \cos \beta + R^2 \int_{\beta_0}^{\beta} |X \sin(\alpha - \beta) - Z \cos(\alpha - \beta)| \sin \alpha d\alpha$$

где

$$P_z^0 = R (T_1^0 \sin \beta_0 + N^0 \cos \beta_0) \sin \beta_0 \quad (3.7)$$

Для изгибающего момента  $M_z$  имеем

$$\begin{aligned} M_z = \frac{D_{11}}{R} \frac{dW}{d\beta} + \frac{D_{12}}{R} W \operatorname{ctg} \beta - \frac{\mu K_{11}}{C_{11} R \sin \beta} (V \operatorname{ctg} \beta - F_1) - \\ - \mu^2 K_{11} Q - \mu \frac{a_{33} b_{11} K_{11}}{3 C_{11}^3} \frac{(T_s - \mu C_{11} Q)^3}{(K_{11} z_1 + K_{12} z_2)^2} \end{aligned} \quad (3.8)$$

4. Круговая цилиндрическая оболочка. В случае круговой цилиндрической оболочки имеем

$$k_1 = \frac{1}{R_1} = 0, \quad r = R_1 = R, \quad \theta = 0, \quad z_2 = 0 \quad (4.1)$$

Учитывая также, что

$$L_s = \frac{ds}{ds}, \quad \nabla_s = \frac{d}{ds} \quad (4.2)$$

уравнения (1.28) в рассматриваемом случае можно представить в виде

$$\begin{aligned} \frac{d^2 V}{ds^2} - \frac{h}{a_{33} R} W - \frac{C_{12}}{R C_{11}} \frac{dF_1}{ds} \\ \frac{d^2 W}{ds^2} + \frac{V}{R D_{11}} - \mu^2 \frac{K_{11} dQ}{D_{11} ds} - \mu \frac{a_{33} b_{11}}{3 C_{11}^3 D_{11}} \frac{d}{ds} \left| \frac{(T_s - \mu C_{11} Q)^3}{z_1} \right| \\ = - \frac{1}{R D_{11}} \left( F_2 - \mu \frac{K_{11}}{C_{11}} \frac{dF_2}{ds} \right) \end{aligned} \quad (4.3)$$

Здесь  $F_1$  и  $F_2$  определяются по формулам

$$F_1 = R \left( T_s - \int_{z_1}^{z_2} X ds \right), \quad F_2 = - R \int_{z_1}^{z_2} Z ds \quad (4.4)$$

Приведем также выражение для изгибающего момента  $M_z$ .

$$M_z = - D_{11} \frac{dW}{ds} - \mu \frac{K_{11}}{R C_{11}} F_1 - \mu^2 K_{11} Q - \mu \frac{a_{33} b_{11}}{3 C_{11}^3} \frac{(T_s - \mu C_{11} Q)^3}{z_1} \quad (4.5)$$

5. Рассмотрим частный случай предыдущего пункта, когда на круговой цилиндрической оболочке не действуют внешнее осевое усилие ( $T_s = 0$ ) и тангенциальная составляющая внешней поверхности нагрузки ( $X = 0$ ), и торцевые закрепления оболочки таковы, что во всей оболочке внутреннее тангенциальное усилие  $T_s$  не появляется.

В этом случае будем иметь

$$T_s = 0, \quad F_1 = 0, \quad T^* = 0$$

$$\delta = \left( 1 - 4\pi^2 \frac{a_{11}b_{11}K_{11}}{C_{11}^2} \right)^{\frac{1}{2}} = \frac{2}{C_{11}} \left( \frac{2K_{11}}{a_{11} - a_{22}} \right)^{\frac{1}{2}},$$

$$Q = - \frac{2K_{11}}{(1 + \delta) C_{11}} \frac{dW}{ds}, \quad \frac{(T_1 - u C_{11} Q)^2}{z_1} = \frac{8\pi^2 K_{11}^2}{(1 - \delta)^2} \frac{dW}{ds} \quad (5.1)$$

$$M_1 = - \frac{2\delta}{1 - \delta} D_{11} \frac{dW}{ds}$$

На основании этих соотношений уравнения (4.3) упрощаются и принимают вид

$$\frac{d^2V}{ds^2} - \frac{h}{a_{11}R} W = 0 \quad (5.2)$$

$$\frac{2V}{1 - \delta} \frac{d^2W}{ds^2} + \frac{V}{RD_{11}} = - \frac{F_1}{RD_{11}}$$

Уравнения (5.2) — линейные с постоянными коэффициентами, и решение их для конкретных примеров не представляет особого труда. После определения  $V$  и  $W$ , вычисляя  $\varepsilon_1$  и  $\varepsilon_2$ , можно найти перемещения точек срединной поверхности оболочки  $u$ ,  $w$ :

$$u = u_0 + \frac{a_{11}}{h} V + \varepsilon_1 W, \quad w = \frac{a_{11}R}{h} \frac{dV}{ds} \quad (5.3)$$

где  $\varepsilon_1$  (1.14) имеет вид

$$\varepsilon_1 = \frac{2\pi K_{11}}{(1 + \delta) C_{11}} \quad (5.4)$$

В качестве примера рассмотрим изгиб шарнирно опертою по горизонтали круговой цилиндрической оболочки длины  $l$  под действием внешней поверхностной нагрузки интенсивности

$$Z = -q_0 \sin \frac{\pi s}{l} \quad (5.5)$$

Границные условия при этом будут

$$u = 0, \quad w = 0, \quad M_1 = 0 \quad \text{при } s = 0 \quad (5.6)$$

$$T_1 = 0, \quad w = 0, \quad M_1 = 0 \quad \text{при } s = l$$

С учетом (5.5) для  $F_1$  получаем

$$F_1 = \frac{q_0 R l}{\pi} \left( 1 - \cos \frac{\pi s}{l} \right) \quad (5.7)$$

Решение системы (5.2) с учетом (5.7), согласованное с граничными условиями (5.6), будет

$$W = A \cos \frac{\pi s}{l}, \quad V = B \cos \frac{\pi s}{l} + C \quad (5.8)$$

где

$$A = - \frac{\pi q_0}{l \left( \frac{h}{a_{11}R^2} - \frac{2\pi^2 D_{11}}{1 - \delta} \frac{\pi^2}{l^4} \right)}, \quad B = - \frac{h^2}{\pi^2 a_{11} R} A, \quad C = - \frac{q_0 R l}{\pi} \quad (5.9)$$

## Знак изгибающего момента

$$M_s = \frac{2\pi D_{11}}{1 + \delta} \frac{\pi}{l} A \sin \frac{\pi s}{l}$$

совпадает со знаком  $A$ . Как видно из (5.9),  $A < 0$ , следовательно, и  $M_s < 0$ . Поэтому для рассматриваемого примера следует принимать

$$\delta = \frac{a_{11} - a_{22}}{a_{11} + a_{22}} \quad (5.10)$$

Перемещения точек срединной поверхности оболочки  $u$ ,  $w$ , удовлетворяющие граничным условиям (5.6), будут

$$u = -A \frac{\pi}{l} \left( \gamma - \frac{a_{11}}{a_{11}R} \frac{l^2}{\pi^2} \right) \left( 1 - \cos \frac{\pi s}{l} \right), \quad w = A \frac{l}{\pi} \sin \frac{\pi s}{l} \quad (5.11)$$

Для завершения решения задачи остается выяснить вопрос коэффициента  $a_{11}$ , который связан со знаком напряжения  $\sigma_1$ . Для этого прежде всего следует выяснить, в данном примере  $\sigma_1$  меняет свой знак по толщине оболочки или нет, так как приведенная в настоящей работе теория была построена в предположении, что  $\sigma_1$  по толщине оболочки не меняет своего знака.

Из (1.10), вычисляя  $\varepsilon_1$ , находим

$$\begin{aligned} \varepsilon_1 &= A \frac{\pi}{l} \left| \frac{l^2}{\pi^2 a_{11} R} + \frac{a_{22}(\gamma - \gamma)}{a_{11} a_{22} - a_{12}^2} \right| \sin \frac{\pi s}{l} \quad \text{при } -\frac{h}{2} \leq \gamma \leq \gamma \\ \varepsilon_2 &= A \frac{\pi}{l} \left| \frac{l^2}{\pi^2 a_{11} R} + \frac{a_{22}(\gamma - \gamma)}{a_{22} a_{11} - a_{12}^2} \right| \sin \frac{\pi s}{l} \quad \text{при } \gamma \leq \gamma \leq \frac{h}{2} \end{aligned} \quad (5.12)$$

Отсюда нетрудно установить, что если геометрические размеры оболочки удовлетворяют неравенству  $hR/l^2 < 0.3$ , то  $\varepsilon_1$  не меняет знака по всей толщине оболочки и его знак совпадает со знаком  $A$ , т. е.  $a_{11} < 0$ . Поэтому следует здесь положить

$$a_{11} = a_{22} = \frac{1}{E}, \quad a_{11} = \frac{1}{E}, \quad a_{12} = -\frac{1}{E} = -\frac{1}{E} \quad (5.13)$$

Тогда для коэффициентов  $\gamma$ ,  $\delta$  и  $D_{11}$ , входящих в расчетные формулы, будем иметь

$$\begin{aligned} \gamma &= \frac{1}{a_{11} a_{22} - a_{12}^2} \frac{1}{a_{22} - 2a_{12}} \frac{h}{2} \\ \delta &= \frac{2 | (a_{11} a_{22} - a_{12}^2) (a_{22} - a_{12}) }{a_{11} a_{22} + a_{22}^2 - 2a_{12}^2} \\ D_{11} &= \frac{a_{22} (a_{11} a_{22} - a_{12}^2 - 2a_{12}^2)}{(a_{11} a_{22} - a_{12}^2)(a_{22} - a_{12}^2)} \frac{h^3}{24} \end{aligned} \quad (5.14)$$

Ա. Ա. Խաչատրյան

**ՏԻՐԱԿՈՒՐԻՎ ՆՅԱԹԻՑ ՊԱՏՐՈՒԱՏԱԼՈՒ ԽԸ ԱՌԱԵՑՔԱԼՈՒՄԵՏԵՐԻ  
ԲԻՆԱԲՈՐՎԱԾ ՊՏՏԱԿԱՆ ԹԱՂԱՆԹԻՆԵՐԻ ՏԵՍՈՒԹՅԱՆ ՄԱՍԻՆ**

Ա. Ա. Խ ա չ ա տ ր յ ա ն

Աշխատանքով ընդունելով՝ թաղանթների տեսության մեջ հականի, զեփարծոցիալի չենթալպինգ նորմանեների բազոֆեկր, կառացված է տարածուցույնութերից պատրաստված և տաճաց բաժինների բեռնափորած պարտման թաղանթների տեսությանը: Առացված հավասարութեարք ի տարրերություն սափորական իզոտրոպ նյութի զեպրած ստացվազ համապատասխան հավասարութեարքով ուսովութիւն էն:

Թերված ընդհանուր հավասարութեարքը, որոին մասնավոր զեպրեր ստացված են համապատասխան հավասարութեարք՝ զնդադին, կոնական և զլանացին թաղանթների համար:

Ուրօտման սրացու որինուկ, բաժինն է մի ինդիք զբանավին թաղանթի վերորերուն:

A. A. KHACHATRIAN

**ON THE THEORY OF AXISYMMETRICALLY  
LOADED ROTATORY SHELLS MADE FROM  
DIFFERENT MODUL MATERIAL.**

S u m m a r y

Accepting the hypothesis of nondeformable normals, the theory of axisymmetrically loaded rotatory shells made from different modul material is constructed.

In particular cases, the equations for spherical, conical and cylindrical shells are obtained.

Լ Ի Տ Ե Ր Ա Գ Ս Ա

1. Ամբարցումյան Ս. Ա. Տեория симметрично нагруженных слабомоментных оболочек вращения, изготовленных из разномодуляных материалов. Иж. ж. АН СССР. МТТ, № 6, 1967.
2. Ամբարցումյան Ս. Ա., Խաչատրյան Ա. Ա. Տեория слабомоментных оболочек, изготовленных из разномодуального материала. Прикл. механика. Отд. матем., мех. и киберн. АН УССР, т. V, в. 5, 1969.
3. Ամբարցումյան Ս. Ա. Осьсимметричная задача круговой цилиндрической оболочки, изготовленной из материала, разнонапрягнувшегося растяжению и сжатию. Изв. АН СССР, Механика, 4, 1965.
4. Լյուս Ա. Ի. Статика тонкостенных упругих оболочек. Гостехиздат, 1947.
5. Ամբարցումյան Ս. Ա. Теория пинзотропных оболочек. Физматгиз, 1961.

Дж. З. МКРТЧЯН

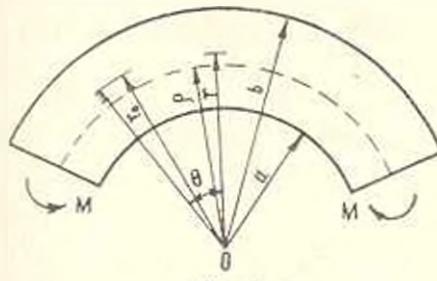
## ЧИСТЫЙ ИЗГИБ КРУГОВОГО СТЕРЖНЯ, ИЗГОТОВЛЕННОГО ИЗ РАЗНОМОДУЛЬНОГО МАТЕРИАЛА

Рассматривается напряженно-деформированное состояние кругового кольцевого стержня, изготовленного из разномодульного материала, изгибающегося парами сил, приложенных к горизонтальным сечениям.

В работе приходится решение поставленной задачи методами теории упругости, а также приводится решение этой же задачи с принятием гипотезы плоских сечений и с пренебрежением радиальными напряжениями.

Сравнение результатов показывает, что расхождение величин напряжений  $\sigma_1$ , вычисленных по обоим методам, незначительно.

1. Рассмотрим чистый изгиб кривого стержня, представляющего собой часть кругового кольца, под действием сил, приложенных к конценным сечениям и приведенных к парам (фиг. 1).



Фиг. 1.

Стержень изготовлен из разномодульного материала, характеризующегося постоянными  $E_+$  (при растяжении) и  $E_-$  (при сжатии).

Предполагается, что в сечениях, параллельных плоскости кольца, напряжения отсутствуют, т. е. имеем случай обобщенного плоского напряженного состояния.

Очевидно, что в рассматриваемой задаче, как и в случае обычного изогнутого (одномодульного) материала, касательное напряжение  $\tau_M$  отсутствует, а нормальные напряжения  $\sigma_1$  и  $\sigma_2$  не зависят от полярного угла  $\theta$  и являются функциями только от координаты  $r$ .

Заметим, что в рассматриваемом случае изгиба стержня на внутренней части  $r < 0$ , на внешней части  $r > 0$ . Поэтому естественно, что на некоторой, пока неизвестной, дуге окружности ( $r = ?$ ) напряжение  $\sigma_1$  обращается в нуль.

Как и в случае обычного изотропного материала [4], рассматривая равновесие отдельных элементов стержня, нетрудно убедиться, что в данном случае во всех точках стержня напряжение  $\sigma_r$  отрицательно.

В силу сказанного, стержень лугой окружности  $r = r$  разделится на две части. Первая часть ( $a \leq r \leq b$ ) является областью первого рода, так как для всех точек этой области  $\sigma_r < 0$ ,  $\sigma_\theta < 0$ . Вторая часть ( $r \leq a$ ) является областью второго рода, так как для нее  $\sigma_r < 0$ ,  $\sigma_\theta > 0$ .

Для решения поставленной задачи необходимо рассмотреть каждую часть стержня в отдельности.

Как известно, для обычного изотропного материала (для областей первого рода) решение плоской задачи приводится к определению функции напряжений  $\varphi$ , удовлетворяющей уравнению

$$\Delta \varphi = 0 \quad (1.1)$$

и соответствующим контурным условиям.

Общее решение этого уравнения при условии, что напряженное состояние рассматриваемого тела полярно-симметричное, имеет вид:

$$\varphi = A_1 \ln r + B_1 r \ln r + C_1 r^2 \quad (1.2)$$

Можно показать, что для областей второго рода, в случае полярно-симметричного напряженного состояния, уравнение относительно функции напряжений  $\varphi$  [2] примет следующий вид:

$$\Delta \Delta \varphi + \frac{a_{11} - a_{22}}{a_{11}} \frac{1}{r} \frac{d}{dr} \left( \frac{1}{r} \frac{d\varphi}{dr} \right) = 0 \quad (1.3)$$

где

$$a_{11} = \frac{1}{E}, \quad a_{22} = \frac{1}{E} \quad \text{при } \sigma_r < 0, \quad \sigma_\theta > 0 \quad (1.4)$$

или

$$a_{11} = \frac{1}{E}, \quad a_{22} = \frac{1}{E} \quad \text{при } \sigma_r > 0, \quad \sigma_\theta < 0 \quad (1.5)$$

Общий интеграл уравнения (1.3) для всех возможных случаев (1.4) и (1.5) будет

$$\varphi = A_2 r^2 + B_2 r^{1+\alpha} + C_2 r^{1-\alpha}, \quad r = \sqrt{\frac{a_{22}}{a_{11}}} \quad (1.6)$$

Входящие в выражения (1.2) и (1.6) постоянные интегрирования  $A_i$ ,  $B_i$ ,  $C_i$  определяются из контурных условий задачи и из условий непрерывности напряжений и перемещений на границах раздела областей первого и второго родов.

Для первой части ( $a \leq r \leq b$ ) имеем функцию напряжений (1.2) и следующие контурные условия:

$$\text{при } r = a \quad \sigma_r = 0, \quad \text{при } r = b \quad \sigma_r = 0 \quad (1.7)$$

Для второй части имеем функцию напряжений (1.6) и следующие контурные условия:

$$\text{при } r = a \quad z_1 = 0, \quad \text{при } r = b \quad z_1 = 0 \quad (1.8)$$

На границе раздела двух областей ( $r = \rho$ ) имеем условия непрерывности напряжения  $\sigma_r$  и перемещений  $u, v$

$$\sigma_r \Big|_{r=\rho} = \sigma_r \Big|_{r=\rho}, \quad u \Big|_{r=\rho} = u \Big|_{r=\rho}, \quad v \Big|_{r=\rho} = v \Big|_{r=\rho} \quad (1.9)$$

На торцевых сечениях контурным условиям удовлетворяем по принципу Сен-Венана

$$\int_a^{\rho} z_2 dr + \int_{\rho}^b z_2 dr = 0, \quad \int_a^{\rho} r z_2 dr + \int_{\rho}^b r z_2 dr = M \quad (1.10)$$

Аналогично классическому решению [3] нетрудно доказать, что первое условие (1.10) равносильно первому условию (1.9).

Напряжения  $\sigma_r$  и  $\sigma_\theta$  выражаются через функцию напряжений известными соотношениями

$$z_r = -\frac{1}{r} \frac{dz}{dr}, \quad z_\theta = \frac{d^2\phi}{dr^2} \quad (1.11)$$

Используя (1.11) и удовлетворяя контурным условиям (1.7), (1.8) и (1.10), для неизвестных коэффициентов, фигурирующих в (1.1) и (1.6), получим

$$\begin{aligned} A_1 &= \frac{4MN}{K} (\alpha + 1) a^{\alpha+2} \left( 1 + \ln \frac{b}{a} \right) \\ B_1 &= \frac{2MN}{K} (\alpha + 1) (a^2 + b^2) \\ C_1 &= -\frac{M}{K} N (\alpha + 1) (a^2 + 3b^2 - 2a^2 \ln a - 2b^2 \ln b) \\ A_2 &= -\frac{2\alpha MH}{K(\alpha - 1)} (b^{\alpha+1} - a^{\alpha+1}) \\ B_2 &= \frac{4MH}{K(\alpha - 1)} (b^{\alpha+1} + ab^{\alpha+1}) \\ C_2 &= \frac{4MH}{K(\alpha - 1)^2} (b^{\alpha+2} - ab^{\alpha+2}) \end{aligned} \quad (1.12)$$

где

$$N = \frac{1}{\alpha - 1} [( \alpha + 1 ) b^{\alpha+2} - 2\alpha b^{\alpha+1} a^{\alpha+1} + (\alpha - 1) a^{2\alpha}]$$

$$H = \varphi^2 - a^2 - 2a^2 \ln \frac{\varphi}{a}$$

$$K = 2\pi H \left| (b^{z+1} - \varphi^{z+1})^2 + \left(\frac{z-1}{z+1}\right)^2 (sb^z - b\varphi^z)^2 \right| = (1+z)N \left| 4a^2\varphi^2 \left( \ln \frac{\varphi}{a} \right)^2 + (\varphi^2 - a^2)^2 \right| \quad (1.13)$$

Напряжения  $\sigma_r$  и  $\sigma_\theta$  для первой части ( $a \leq r \leq b$ ) будут

$$\sigma_r = -\frac{4MN(z+1)}{Kr^z} \left| \varphi^2 \left( r^2 \ln \frac{\varphi}{r} - a^2 \ln \frac{\varphi}{a} \right) - a^2 r^z \ln \frac{\varphi}{a} + \varphi^2 (r^2 - a^2) \right| \quad (1.14)$$

$$\sigma_\theta = -\frac{4MN}{Kr^z} (z-1) \left| a^2 \left( \varphi^2 \ln \frac{\varphi}{a} - r^2 \ln \frac{\varphi}{a} \right) + \varphi^2 r^z \ln \frac{\varphi}{r} + a^2 (r^2 - \varphi^2) \right|$$

Для второй части ( $b \leq r \leq b$ ) напряжения  $\sigma_r$  и  $\sigma_\theta$  определяются по формулам:

$$\sigma_r = -\frac{4MH(z+1)}{K(z-1)r^{z+1}} \left[ z b^{z+1} r^{z+1} (b^{z+1} - r^{z+1}) - 2\varphi^{z+1} (b^{z+1} - r^{z+1}) + \varphi^{z+1} (b^2 - r^2) \right] \quad (1.15)$$

$$\sigma_\theta = \frac{4MHz(z-1)}{K(z-1)r^{z+1}} \left[ z b^{z+1} (r^{z+1} - \varphi^{z+1}) - b^{z+1} (r^{z+1} - \varphi^{z+1}) + \varphi^{z+1} r^{z+1} (r^{z+1} - \varphi^{z+1}) \right]$$

Для каждой части стержня законы упругости в главных направлениях  $r$  и  $\theta$  будут:

для первой части ( $a \leq r \leq b$ )

$$\tau_r = \frac{1}{E} (\sigma_r - v \sigma_\theta), \quad \tau_\theta = \frac{1}{E} (\sigma_\theta - v \sigma_r) \quad (1.16)$$

для второй части ( $b \leq r \leq b$ )

$$\tau_r = \frac{1}{E} (\sigma_r - r \tau_\theta), \quad \tau_\theta = \frac{1}{E} (\sigma_\theta - r \tau_r) \quad (1.17)$$

Приводим также чисто геометрические соотношения, которые, как известно [1, 2], одинаковы для областей первого и второго родов

$$\tau_r = \frac{\partial u}{\partial r}, \quad \tau_\theta = \frac{u}{r} + \frac{1}{r} \frac{\partial v}{\partial \theta}, \quad \tau_r = \frac{1}{r} \frac{\partial u}{\partial \theta} + \frac{\partial v}{\partial r} - \frac{v}{r} = 0 \quad (1.18)$$

Интегрируя уравнения (1.18), с учетом соотношений (1.16), (1.11), (1.2) и (1.6), определим перемещения:

для первой области ( $a \leq r \leq b$ ) получим

$$\begin{aligned} u_1 &= \frac{1}{E} \left[ -\frac{(1+v)}{r} A_1 + 2(1-v) B_1 r \ln r - B_1 (1+v) r + \right. \\ &\quad \left. + 2C_1 (1-v) r \right] + D_1 \sin \theta + F_1 \cos \theta \quad (1.19) \\ v_1 &= \frac{4B_1 r^2}{E} + L_1 r + D_1 \cos \theta + F_1 \sin \theta \end{aligned}$$

для второй области ( $b \leq r \leq c$ ) получим

$$\begin{aligned} u_2 &= \frac{1}{zE} [2z(1-v) r A_2 + (1+z)(1-zv) B_2 r + \\ &\quad + (z-1)(1+av) C_2 r^{-a}] + D_2 \sin \theta + F_2 \cos \theta \quad (1.20) \\ v_2 &= \frac{2A_2 (1-z^2)}{E} r^2 + L_2 r + D_2 \cos \theta - F_2 \sin \theta \end{aligned}$$

где  $A_i$ ,  $B_i$ ,  $C_i$  определяются по формулам (1.12), а  $D_i$ ,  $F_i$ ,  $L_i$  — постоянные интегрирования, определяемые из условий закрепления стержня как жесткого тела.

Закрепим точку с координатами  $r = r_0$ ,  $\theta = 0$  и элемент радиуса, проходящего через эту точку.

При этом соответствующие условия закрепления стержня будут:

$$\text{при } \theta = 0, \quad r = r_0 \quad u = 0, \quad v = 0, \quad \frac{\partial v}{\partial r} = 0 \quad (1.21)$$

Если точка закрепления может оказаться или в первой области, или во второй. Предполагая, что точка закрепления находится в первой области ( $a \leq r_0 \leq b$ ), из условий (1.21) получим

$$\begin{aligned} L_1 &= 0, \quad D_1 = 0 \\ F_1 E &= \frac{(1+v)}{r_0} A_1 - 2(1-v) B_1 r_0 \ln r_0 - B_1 (1+v) r_0 - \\ &\quad - 2C_1 (1-v) r_0 \end{aligned} \quad (1.22)$$

Если точка закрепления находится во второй области ( $b \leq r_0 \leq c$ ), то условие (1.21) даст

$$\begin{aligned} L_2 &= 0, \quad D_2 = 0 \\ zF_2 E &= -2z(1-v) A_2 r_0 + (1+z)(zv-1) B_2 r_0^a + \\ &\quad + (z-1)(1+av) C_2 r_0^{-a} \end{aligned} \quad (1.23)$$

К этим условиям закрепления (1.21) добавляются условия непрерывности перемещений  $u$  и  $v$  на границе раздела двух областей (1.9).

Из третьего условия (1.9) получим

$$L_1 = L_2 = 0, \quad D_1 = D_2 = 0, \quad F_1 = F_2 = F$$

$$2B_1 z^2 = A_1 (1 - z^2) \quad (1.24)$$

Подставляя значения коэффициентов из (1.12) и (1.19) и (1.20) с учетом (1.24), определим перемещения. При этом получим:  
для первой части ( $a \leq r \leq b$ )

$$u_1 = -\frac{4MN(z+1)}{KE} \left| \frac{a^2 z^2}{r} \left( 1 - \ln \frac{r}{a} \right) + \right.$$

$$\left. + r(1-v) \left( p^2 + p^2 \ln \frac{r}{a} - a^2 \ln \frac{r}{a} \right) + r(a^2 + p^2) \right| + F \cos \theta \quad (1.25)$$

$$v_1 = \frac{8MN(z+1)}{KE} (a^2 + p^2) r \theta - F \sin \theta$$

для второй части ( $b \leq r \leq h$ )

$$u_1 = -\frac{4MH(z+1)}{z(z-1)KE} [p^2(1-v) r(b^{z-1} + p^{z-1}) - r^2(1-v)r(b^{z-1} + p^{z-1}) -$$

$$- b^{-1}p^{z-1}r^{-1}(1+v)(b^{z-1} - ap^{z-1})] + F \cos \theta \quad (1.26)$$

$$v_1 = \frac{4MH(z+1)^2}{zKE} (b^{z-1} + p^{z-1}) r \theta - F \sin \theta$$

Из последнего условия (1.24) с учетом (1.12) получим следующее трансцендентное уравнение относительно неизвестного радиуса  $r$ :

$$(z-1)^2 s^{z-2} + (3z-1)(z-1)m^2 s^z - 4z^2 s^{z-1} (s^2 + m^2) + (z+1)^2 s^z +$$

$$+ (3z-1)(z-1)m^2 + 2(z^2-1)m^2(1+s^2) \ln \frac{s}{m} = 0 \quad (1.27)$$

где

$$s = \frac{r}{b}, \quad m = \frac{a}{b} \quad (1.28)$$

Нетрудно показать, что уравнение (1.27) в промежутке  $m < s < 1$  имеет один действительный корень, который определяется известными методами приближенных вычислений.

Отметим, что после удаления условия непрерывности перемещения и условие непрерывности для  $\theta$  удаляется тождественно.

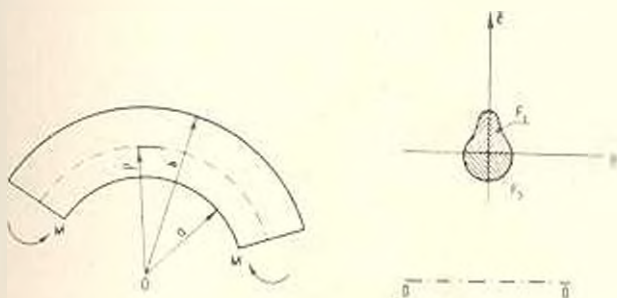
После решения уравнения (1.27) можно сказать в какой именно области находится закрепленная точка ( $r = r_0$ ,  $\theta = 0$ ). Если она будет в первой области, то постоянная интегрирования  $F$  определяется из условия (1.22), если же будет во второй области, то — из условия (1.23).

Отметим, что из выражений (1.25) и (1.26) для перемещения  $u$  следует, что поперечные сечения кривого стержня после деформации остаются плоскими.

2. Решим рассмотренную выше задачу приближенно—методами сопротивления материалов.

Сделаем, как и в случае одномодульного материала, допущение, что радиальными напряжениями  $\sigma_r$  можно пренебречь.

Предполагается, что сечение стержня симметрично относительно плоскости кривизны. Ось  $z$  в сечении является осью симметрии (фиг. 2), а внешние силы приложены в плоскости симметрии.



Фиг. 2.

В рассматриваемом случае так же, как и в случае обычного изотропного материала [5], можно показать, что точки поперечного сечения стержня после изгиба также образуют плоское сечение, повернутое вокруг некоторой оси  $y$ , т.е. поперечное сечение стержня после изгиба остается плоским.

Из вышесказанного следует, что нормальное напряжение  $\sigma_z$  является функцией только от координаты  $z$ .

Очевидно, что под действием внешней нагрузки (пары  $M$ ) внутренние волокна ( $r = a$ ) сжаты, а внешние ( $r = b$ )—растянуты.

Поэтому, естественно, что на некоторой, пока неизвестной, цилиндрической поверхности ( $r = \rho$ ) напряжение  $\sigma_z$  обращается в нуль.

Линия пересечения этой поверхности с поперечным сечением есть нейтральная ось сечения (ось  $y$ ).

Так как закон упругости для растянутой ( $F_1$ ) и сжатой ( $F_2$ ) частей пишется в различной форме [1], то и выражения для  $\sigma_z$  этих частей будут различными.

С учетом вышесказанного граничные условия для торцевых сечений будут:

$$\int_{F_1} z_1 dF + \int_{F_2} z_2 dF = 0, \quad \int_F z z_1 dF + \int_{F_2} z z_2 dF = M \quad (2.1)$$

Так как поперечные сечения стержня после изгиба остаются плоскими, то для любого значения  $z$  (фиг. 3) относительное удлинение (укорочение) волокон элемента будет

$$z = \frac{z}{z + \varphi} \frac{\Delta d\varphi}{d\varphi} \quad (2.2)$$

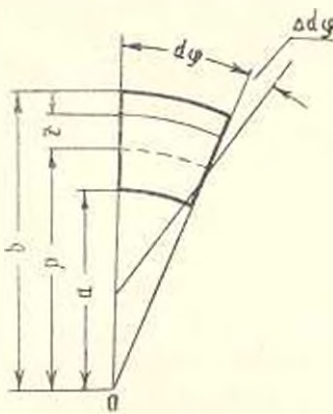
Тогда для напряжений  $\sigma_z$  получим:

в растянутой части ( $0 < z < b - \varphi$ )

$$\sigma_z = E \cdot \frac{z}{z + \varphi} \frac{\Delta d\varphi}{dz} \quad (2.3)$$

в сжатой части ( $a - \varphi < z < 0$ )

$$\sigma_z = E \cdot \frac{z}{z + \varphi} \frac{\Delta d\varphi}{dz} \quad (2.4)$$



Фиг. 3.

Подставляя значения  $\sigma_z$  из (2.3) и (2.4) во второе уравнение (2.1), после элементарных преобразований получим

$$\begin{aligned} \sigma_z &= \frac{x^2 M z}{p(z - \varphi)} \quad \text{при } 0 < z < b - \varphi \\ \sigma_z &= \frac{M z}{p(z + \varphi)} \quad \text{при } a - \varphi < z < 0 \end{aligned} \quad (2.5)$$

где

$$p = x^2 \int_{F_1}^{F_2} z dF + \int_{F_1}^{F_2} z dF \quad (2.6)$$

Фигурирующая в (2.5) и (2.6) неизвестная величина  $p$  определяется из первого условия (2.1), которое приводится к следующему трансцендентному уравнению:

$$x^2 F_1 - F_2 - p \left( x^2 \int_{F_1}^{F_2} \frac{dF}{z + \varphi} + \int_{F_1}^{F_2} \frac{dF}{z + \varphi} \right) \quad (2.7)$$

Уравнение (2.7) при заданных ферме поперечного сечения и материале стержня решается известными приближенными методами.

3. Сравним решения поставленной задачи полученными методами теории упругости (точное решение) и сопротивления материалов (приближенное решение).

При точном решении задачи, рассмотренном в пункте 1, поперечное сечение стержня было прямоугольное. Поэтому рассмотрим приближенное решение для прямоугольного сечения. В этом случае уравнение (2.7), определяющее величину  $\sigma$ , примет следующий вид:

$$\sigma^2 = m - s \left( x^2 - 1 - x \ln s + \ln \frac{s}{m} \right) \quad (3.1)$$

где

$$m = \frac{a}{b}, \quad s = \frac{z}{b} \quad (3.2)$$

Выражения для напряжений (1.14), (1.15) и (2.5) можно представить в виде:

точное решение

$$\sigma_1 = k_1 \frac{M}{b^2}, \quad \sigma_2 = k_2 \frac{M}{b^2} \quad (3.3)$$

приближенное решение

$$\sigma_1 = k_1 \frac{M}{b^2} \quad (3.4)$$

где  $k_1$ ,  $k_2$ ,  $k$  как видно из вышеуказанных формул, зависят от материала стержня ( $\tau$ ), от его размеров ( $m$ ) и от координаты точки ( $z$ ), где определяются напряжения.

Для некоторых значений  $m$  и  $z$  вычислены значения функций  $k$ , в девяти точках поперечного сечения, расположенных по высоте.

Результаты вычислений приведены в табл. 1—4. Вычисления произведены на ЭВЦМ "Наир" вычислительной лаборатории Ереванского политехнического института.

Известно [4], что для обычного материала величины напряжений  $\sigma$ , вычисленные методами теории упругости и сопротивления материалов, достаточно близки. Из результатов вычислений, приведенных в таблицах, замечаем, что и для разномодульного материала расходжение величин  $\sigma_1$ , вычисленных по обоим методам, незначительно. Поэтому с достаточной точностью для практических расчетов величины напряжений  $\sigma$  можно вычислить по более простым формулам (2.5).

Сравнение величин напряжений  $\sigma_1$ , приведенных в табл. 1—3, для стержней, изготовленных из разномодульного материала, с соответствующими величинами, приведенными в табл. 4, для стержней, изготовленных из обычного материала, показывает, что из-за разномо-

Таблица 1

$\tau$	$m = 1.3$						$\tau = 0.7$	
	$\tau = 0.5$			$\tau = 0.7$				
	Точное решение		Прибл. реш.	Точное решение		Прибл. реш.		
$s$	$k_1$	$k_2$	$k_3$	$s$	$k_1$	$k_2$	$s$	
-0.171	0.000	-31.590	-31.580	-0.217	0.000	-25.319	25.288	
-0.128	-2.961	-20.754	-20.925	-0.162	-2.887	-16.047	-16.228	
0.085	-4.338	-12.356	-12.455	-0.108	-4.081	-9.315	-9.113	
0.042	-4.759	-5.599	-5.560	0.053	-4.362	-4.144	4.101	
0.001	-4.585	0.000	0.040	0.002	-4.127	0.000	0.077	
0.125	3.368	2.996	3.066	0.114	3.154	3.147	3.257	
0.249	-2.144	5.058	5.097	0.226	-2.073	5.161	5.521	
0.372	1.015	6.579	6.555	0.337	-1.008	7.260	7.216	
0.496	0.000	7.758	7.652	0.449	0.000	8.713	8.533	
$\tau = 1.5$								
	$s = 0.6796$		$s = 0.6748$		$s = 0.7284$		$s = 0.7229$	
-0.341	0.000	-16.996	-16.893	-0.390	0.000	-15.190	-15.055	
-0.255	2.699	-9.840	-10.011	-0.291	-2.630	-8.510	-8.670	
-0.168	-3.515	-5.405	-5.482	-0.192	-3.332	-4.594	-4.661	
-0.082	-3.553	-2.320	-2.275	-0.093	-3.311	-1.952	-1.910	
0.005	-3.242	0.000	0.259	0.005	-2.989	0.000	0.383	
0.085	2.670	3.872	4.144	0.073	-2.543	4.373	4.745	
0.165	-1.904	7.151	7.287	0.141	-1.845	8.241	8.421	
0.245	-0.988	10.026	9.884	0.209	-0.980	11.775	11.561	
0.325	0.000	12.614	12.064	0.277	0.000	15.081	14.275	

Таблица 2

$\tau$	$m = 1.2$						$\tau = 0.7$	
	$\tau = 0.5$			$\tau = 0.7$				
	Точное решение		Прибл. реш.	Точное решение		Прибл. реш.		
$s$	$k_1$	$k_2$	$k_3$	$s$	$k_1$	$k_2$	$s$	
-0.142	0.000	-47.199	-47.127	-0.178	0.000	-37.949	-37.855	
-0.106	-2.642	-32.913	-32.984	-0.134	-2.607	-25.963	-26.040	
-0.071	-4.130	-20.529	-20.598	-0.089	-3.988	-15.943	-16.018	
-0.035	-4.765	-9.655	-9.661	-0.044	-4.522	-7.402	-7.408	
0.000	-4.763	0.000	0.000	0.000	-4.463	0.000	0.003	
0.090	3.857	5.063	5.103	0.081	-3.691	5.463	5.528	
0.179	-2.659	9.051	9.080	0.161	-2.596	9.925	9.972	
0.269	-1.344	12.286	12.275	0.241	-1.335	13.659	13.640	
0.358	0.000	14.971	14.899	0.322	0.000	16.845	16.719	

Таблица 2 (продолжение)

	$\alpha = 1.5$			$\alpha = 2$		
	$s = 0.7731$	$s = 0.7722$		$s = 0.8084$	$s = 0.8074$	
-0.272	0.000	-25.644	-25.492	0.307	0.000	-22.962
-0.204	-2.519	-16.619	-16.803	0.230	-2.486	-14.707
-0.136	-3.661	-9.898	-9.978	0.153	-3.550	8.590
-0.067	-3.993	-4.166	-4.476	-0.076	3.822	3.845
0.001	3.831	0.000	0.124	0.001	3.661	0.000
0.058	3.320	7.144	7.319	0.049	3.215	8.037
0.114	-2.444	13.474	13.593	0.097	2.399	15.338
0.171	-1.313	19.180	19.113	0.145	-1.306	22.083
0.228	0.000	24.396	24.001	0.193	0.000	28.401

Таблица 3

	$m = 3.4$			$n = 0.7$		
	$\gamma = 0.5$					

$z$	Точное решение			Прибл. реш.			$z$	Точное решение			Прибл. реш.			
	$s = 0.8281$			$s = 0.8281$				$s = 0.8472$			$s = 0.8472$			
	$k_1$	$k_2$	$k_3$	$k_1$	$k_2$	$k_3$		$k_1$	$k_2$	$k_3$	$k_1$	$k_2$	$k_3$	
-0.078	0.000	-160.367	-160.293	-0.097	0.000	-129.393	-129.300							
-0.059	-3.514	-117.143	-117.166	-0.073	-3.497	-93.901	-93.928							
-0.039	-5.813	-76.129	-76.173	-0.049	-5.736	-60.655	-60.707							
-0.020	-7.036	-37.137	-37.160	-0.024	-6.892	29.422	-29.448							
0.000	7.304	0.000	0.000	0.000	7.112	0.000	0.000							
0.043	-6.467	18.984	19.005	0.038	-6.344	21.076	21.110							
0.086	-4.859	36.197	36.218	0.076	-4.804	40.431	40.466							
0.129	-2.658	51.886	51.886	0.115	-2.648	58.285	58.284							
0.172	0.000	66.252	66.206	0.153	0.000	74.820	74.740							

	$\alpha = 1.5$			$\alpha = 2$		
	$s = 0.8943$	$s = 0.8942$		$s = 0.9113$	$s = 0.9113$	
-0.144	0.000	-88.110	-87.976	-0.161	0.000	79.096
-0.108	-3.455	-62.920	-62.950	-0.121	-3.440	56.146
-0.072	-5.554	-40.054	-40.120	-0.081	-5.491	35.557
-0.036	-6.559	-19.174	-19.209	-0.040	-6.445	16.944
0.000	6.676	0.000	0.000	0.000	-6.529	0.000
0.026	-6.057	29.491	29.590	0.022	-5.958	34.771
0.053	-4.672	57.399	57.495	0.044	-4.625	68.019
0.079	-2.623	83.897	83.884	0.066	2.615	99.911
0.106	0.000	109.133	108.878	0.089	0.000	130.596

Таблица

$\alpha$	$m = 1/3$			$m = 1/2$			
	Точное решение		Прибл. реш.	Точное решение		Прибл. реш.	
	$s = 0.6102$	$s = 0.6068$	$s = 0.7220$	$s = 0.7273$	$s = 0.7273$	$s = 0.7273$	
$k_1$	$k_2$	$k_3$	$k_1$	$k_2$	$k_3$	$k_4$	
0.273	0.000	20.628	20.567	-0.221	0.000	31.021	30.901
-0.205	2.780	12.618	12.799	-0.166	2.561	20.784	20.866
-0.137	3.794	7.198	7.292	-0.111	3.827	12.571	12.650
-0.068	3.962	-3.224	-3.183	0.055	4.264	5.791	5.800
0.000	3.690	0.000	0.000	0.000	4.156	0.000	0.000
0.098	2.950	3.323	3.494	0.070	3.518	6.042	6.147
0.197	2.011	6.041	6.134	0.139	-2.530	11.225	11.300
0.294	1.008	8.273	8.197	0.209	1.328	15.715	15.680
0.393	0.000	10.166	9.856	0.270	0.000	19.968	19.450
$m = 3/4$							
	$s = 0.8590$	$s = 0.8690$					
0.119	0.000	106.171	106.055				
0.089	3.477	76.478	76.506				
0.060	5.650	49.071	49.129				
0.030	6.733	23.664	23.694				
0.000	6.904	0.000	0.000				
0.033	6.208	21.212	21.269				
0.065	4.742	46.782	46.838				
0.098	2.637	67.884	67.879				
0.131	0.000	87.683	87.541				

дульности материала происходит перераспределение напряжений. С увеличением  $\alpha$  увеличиваются наибольшие растягивающие напряжения и уменьшается область растягивающих напряжений. При этом наибольшие сжимающие напряжения уменьшаются и увеличивается область сжимающих напряжений. С уменьшением же  $\alpha$  перераспределение напряжений происходит наоборот. Например, при  $m = 1/3$ ,  $\alpha = 2$  наибольшие растягивающие напряжения увеличиваются на 48.3%, а наибольшие сжимающие уменьшаются на 26.2%. При  $m = 1/3$ ,  $\alpha = 1/2$  наибольшие растягивающие напряжения уменьшаются на 24.8%, а наибольшие сжимающие — увеличиваются на 53.2%.

В заключение отметим, что все приведенные в пунктах 1, 2 формулы и соотношения при  $\alpha = 1$  (для одномодульного материала) приводятся к соответствующим формулам и соотношениям классической теории.

Выражая глубокую благодарность Хачатряну А. А. за советы и указания, данные мне при выполнении настоящей работы.

Ереванский политехнический институт  
им. К. Маркаса

Поступила 3 III 1969

### Զ. Զ. ՄԿՐՏՉՅԱՆ

## ՏԻԹՈՒՄԻՆԻՑ ՆՅՈՒԹԻՑ ՊԼԵՏՐԱԽԱՎԱՆ ԿԱՐ ՀԵՍՈՒԽԻ ՇՐԿՈՒՄ ԽԱՐԱՐԻՑ

### Ա մ փ ո փ ու մ

Դիտարկված է կլոր պրցանային հեծանիք բարգամային-դիֆորմացիան վիճակը. եղբայրն հորդանակարության կիրառության առաջարկերի ազդեցութանից են պայմանական թրսության մեթոդները և առաջարկած է առաջարկած թրսության մեթոդը. եւերս մեջից լուծված է նաև նյութերի դիմացրության մեթոդը:

Բերված թվային համեմատման թրունք ցույց է տալիս, որ հիմնական բարունակի մեծությունները՝ առցված վերոհիշյալ եղանակներով, տարրերին և նոնչան չափով,

J. Z. MKRTCHIAN

## PURE BENDING OF A CIRCULAR BEAM MADE OF DIFFERENT-MODULUS MATERIAL

### S u m m a r y

The stress-strain state of a circular ring beam, made of different-modulus material found under pairs of bending forces applied to the terminal sections is considered.

The problem has been solved by the method of the theory of elasticity and for the sake of comparison the methods of strength of materials have also been used.

### ԼԻՏԵՐԱՏՈՒՐԱ

1. Амбарцумян С. А., Хачатрян А. А. Основные уравнения теории упругости для материалов, разносопротивляющихся растяжению и сжатию. Изв. в. МГТ, № 2, 1966.
2. Амбарцумян С. А. Уравнения плоской задачи разносопротивляемой шин разномодульной теории упругости. Изв. АН АрмяССР, Механика, № 2, 1966.
3. Лебенаси А. С. Курс теории упругости. Гостехиздат, М.-Л., 1947.
4. Тимошенко С. П. Теория упругости. ОНТИ, М., 1934.
5. Феодосьев В. И. Сопротивление материалов. Науки М., 1967.

Э. В. БЕЛУБЕКЯН

## ИЗГИБ ПРЯМОУГОЛЬНЫХ ПЛАСТИН С СИММЕТРИЧНЫМИ ТРЕЩИНАМИ

В настоящей работе дается решение задачи поперечного изгиба прямоугольной пластинки, свободно опертой по контуру, для двух случаев расположения трещин.

В первом случае рассматривается пластинка с двумя трещинами, идущими от кромок пластинки и симметричными относительно осей симметрии прямоугольника. Здесь же рассматривается решение этой задачи для случая, когда длины трещин не равны, т. е. трещины симметричны только относительно одной из осей прямоугольника.

Во втором случае рассматривается пластинка с одной трещиной, идущей от кромки пластинки вдоль одной из осей симметрии прямоугольника.

При решении задачи применен метод дополнительных воздействий, разработанный в работе [1].

Задача сведена к решению парных рядов-уравнений, неизвестные коэффициенты которых определяются из вполне регулярных бесконечных систем линейных алгебраических уравнений.

В случае, когда длины трещин не равны, получаются "тройные" ряды-уравнения, которые приводятся к квазивполне регулярной бесконечной системе.

Выведены особенности изгибающих моментов вблизи концов трещин.

Приведены численные примеры для частных случаев.

Задача об изгибе прямоугольной пластинки с разрезом, идущим от кромки пластинки до половины одной из осей пластинки, рассматривалась в работе [2].

Изгиб прямоугольной пластинки с симметричным относительно осей пластинки разрезом рассматривался в работе [3].

Исследование изгиба некоторых бесконечных пластин с трещинами посвящены работы [4-7].

1. Рассмотрим первый случай, когда трещины длиной  $\mu b$  ( $0 < \mu < 1$ ) направлены от кромок вдоль оси  $y$  и симметричны относительно оси  $x$  пластинки (фиг. 1).

Задача сводится к определению прогибов  $w$  пластинки, удовлетворяющих в ее области уравнению

$$\Delta \Delta w = \frac{P}{D} \quad (1.1)$$

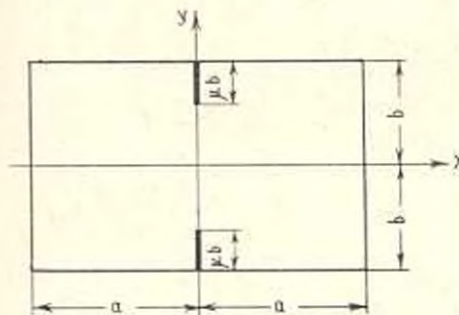
и следующим граничным условием:

$$w = 0, \quad \frac{\partial^2 w}{\partial y^2} = 0 \quad \text{при } y = \pm b \quad (1.2)$$

$$w = 0, \quad \frac{\partial^2 w}{\partial x^2} = 0 \quad \text{при } x = \pm a \quad (1.3)$$

$$\frac{\partial^2 w}{\partial x^2} + \nu \frac{\partial^2 w}{\partial y^2} = 0 \quad \text{при } x = 0, \quad -(1-\nu)b < y < b \quad (1.4)$$

$$\frac{\partial^4 w}{\partial x^4} + (2-\nu) \frac{\partial^3 w}{\partial x \partial y^2} = 0 \quad \text{при } x = 0, \quad \pm(1-\nu)b < y < \pm b \quad (1.5)$$



Фиг. 1.

Для простоты принимается, что функция, выражющая распределение нагрузки, зависит только от  $y$  и разлагается в ряд Фурье

$$p = \sum_{k=1}^{\infty} a_k \cos \nu_k y, \quad a_k = \frac{2}{b} \int_0^b p \cos \nu_k y dy \quad (1.6)$$

Согласно [1], с учетом симметричности задачи относительно осей  $x$  и  $y$ , функция  $w$  представляется в виде

$$w = f(y) + \frac{1}{D} \sum_{k=1}^{\infty} (A_k \cosh \nu_k x + B_k x \sinh \nu_k x) \cos \nu_k y \pm \\ \pm \frac{1}{D} \sum_{k=1}^{\infty} \frac{\nu_k}{4\nu_k} [(1-\nu) \sinh \nu_k x + (1-\nu) \nu_k x \cosh \nu_k x] \cos \nu_k y \quad (1.7)$$

где  $f(y)$  — частное решение уравнения (1.1), удовлетворяющее граничным условиям (1.2)

$$f(y) = \frac{1}{D} \sum_{k=1}^{\infty} \frac{a_k}{\nu_k} \cos \nu_k y \quad (1.8)$$

$$\nu_k = \frac{\pi k}{2b} \quad k = 1, 3, 5, \dots$$

$\nu$  — коэффициент Пуассона,  $D$  — жесткость пластиинки.

В выражении (1.7) знак плюс перед второй суммой относится к области  $x > 0$ , а минус — к области  $x < 0$ .

Как видно из (1.7), для угла наклона  $\vartheta \omega/dx$  на линии  $x = 0$  получается разрыв величиной  $\sum_{k=1}^{\infty} z_k \cos i_k y$ .

Следовательно, функция  $\omega$  должна удовлетворять еще условию непрерывности угла наклона на неразрезанной части линии  $x = 0$ , т. е.

$$\sum_{k=1}^{\infty} z_k \cos i_k y = 0 \quad \text{при } -(1-\mu)b < y < (1-\mu)b \quad (1.9)$$

Таким образом, для определения постоянных коэффициентов  $A_k$ ,  $B_k$ ,  $z_k$  имеются условия (1.2), (1.3), (1.4), (1.5) и (1.9).

Уравнения (1.2) и (1.5) удовлетворяются тождественно. Удовлетворяя граничным условиям (1.3), получим выражения для  $A_k$  и  $B_k$

$$A_k = -\frac{a_k}{i_k \operatorname{ch} i_k a} \left( 1 + \frac{i_k a}{2} \operatorname{th} i_k a \right) - z_k \left( \frac{1+\varepsilon}{4i_k} \operatorname{th} i_k a + \frac{1-\varepsilon}{4} \frac{a}{\operatorname{ch} i_k a} \right) \quad (1.10)$$

$$B_k = \frac{a_k}{2i_k^3 \operatorname{ch} i_k a} - \frac{1-\varepsilon}{4} z_k \operatorname{th} i_k a \quad (1.11)$$

Из уравнений (1.4) и (1.9) для определения коэффициентов  $z_k$  получаются следующие парные ряды-уравнения:

$$\sum_{n=1}^{\infty} z_{2n-1} \cos \left( k + \frac{1}{2} \right) \varphi = 0 \quad (0 < \varphi < \beta) \quad (1.12)$$

$$\sum_{n=1}^{\infty} z_{2n+1} \left( k + \frac{1}{2} \right) (1 - N_k) \cos \left( k + \frac{1}{2} \right) \tilde{\varphi} = g(\tilde{\varphi}) \quad (\beta < \tilde{\varphi} < \pi)$$

где

$$\varphi = \frac{\pi y}{b}, \quad \tilde{\varphi} = (1-\mu)\varphi \quad (1.13)$$

$$N_k = \frac{1 - e^{-2i_k a} - 2i_k a}{2 \operatorname{cl}^2 i_k a} \quad \gamma = \frac{1-\varepsilon}{3+\varepsilon} \quad (1.14)$$

$$g(\tilde{\varphi}) = \sum_{k=1}^{\infty} C_k \cos \left( k + \frac{1}{2} \right) \tilde{\varphi} \quad (1.15)$$

$$C_k = -\frac{16 b^3 a_{2k-1}}{\pi^3 (1-\varepsilon) (3-\varepsilon) (2k+1)^2} \times \\ + \left[ \tilde{\varphi} + \frac{1}{\operatorname{ch} i_k a} \left| \frac{\pi (2k+1) a}{4b} (1-\varepsilon) \operatorname{th} i_k a - \varepsilon \right| \right] \quad (1.16)$$

Таким образом, задача сводится к решению "парных рядов" (1.12). Интегрируя по  $\varphi$  второе из уравнений (1.12) и пользуясь методом, разработанным в работе [8], приведем решение системы (1.12) к решению следующей бесконечной системы линейных алгебраических уравнений:

$$X_n = \sum_{k=0}^{\infty} a_{kn} X_k + b_n \quad (1.17)$$

где приняты обозначения

$$X_k = \frac{(-1)^k z_{2k+1}}{k + \frac{1}{2}} \quad (1.18)$$

$$a_{kn} = \left( k + \frac{1}{2} \right) N_k f_{kn} \quad (1.19)$$

$$b_n = \sum_{k=0}^{\infty} \frac{(-1)^k C_k}{k + \frac{1}{2}} f_{kn} + C J_n \quad (1.20)$$

$$f_{kn} = \int_0^{\pi} P_k(\cos \theta) P_{n-1}(\cos \theta) \sin \theta d\theta \quad (1.21)$$

$$J_n = \int_0^{\pi} P_{n-1}(\cos \theta) P_n(\cos \theta) \sin \theta d\theta \quad (1.22)$$

$$\beta_2 = \pi - \beta$$

$P_n(\cos \theta)$  — полином Лежандра,  $P_{n-1}(\cos \theta)$  — функция Лежандра,  $C$  — постоянная интегрирования, подлежащая определению.

Система (1.17) вполне регулярна при  $a > b$  и квазивполне регулярна при  $a > 0$  и  $N_k$ , имеющем порядок не ниже  $1/k$ , так как она аналогична системе, полученной в работе [3], где полностью исследована регулярность этой системы.

При этом получается

$$X_n = O(n^{-\frac{1}{2}}) \quad z_{2n+1} = O(n^{-\frac{1}{2}}) \quad (1.23)$$

Постоянная интегрирования  $C$  определяется из условия конечности угла наклона  $d\psi/dy$  на линии  $x = 0$  вблизи концов трещин  $\varphi = \beta = 0$ .

Выделим главную часть ряда  $\sum_{k=0}^{\infty} a_{kn} \sin(k + 1/2)$ , находящего в выражении для  $d\psi/dy$  и приравняв кнулю коэффициент при особенности у края трещин. Используя при этом сумму ряда

$$\sum_{k=0}^{\infty} P_k(\cos \varphi) \sin\left(k + \frac{1}{2}\right) \beta = \begin{cases} 0 & (0 < \varphi < \varphi_1 < \pi) \\ [2(\cos \varphi - \cos \varphi_1)] & (0 < \varphi < \varphi_1 \leq \pi) \end{cases} \quad (1.24)$$

получим

$$\begin{aligned} \sum_{k=0}^{\infty} a_{2k+1} \sin\left(k + \frac{1}{2}\right) \varphi &= \sum_{k=0}^{\infty} \left(k + \frac{1}{2}\right) X_k \cos\left(k + \frac{1}{2}\right) \varphi_1 = \\ &= \frac{\partial}{\partial \varphi} \sum_{k=0}^{\infty} \sin\left(k + \frac{1}{2}\right) \varphi_1 \left[ \sum_{p=0}^{\infty} a_{kp} X_p + b_k \right] = \\ &= \cos \frac{\varphi_1}{2} \left[ \sum_{p=0}^{\infty} F_p + CP_{-\nu_0}(1) \right] + \frac{1}{V^2} \sin \varphi_1 \left[ \sum_{p=0}^{\infty} F_p \int_{\varphi_1}^{\varphi} \frac{P'_p(x) dx}{Vx - \cos \varphi_1} + \right. \\ &\quad \left. + C \int_{\varphi_1}^{\varphi} \frac{P'_{-\nu_0}(x) dx}{Vx - \cos \varphi_1} \right] \quad (0 < \varphi < \varphi_1) \quad (\varphi_1 < \varphi_1 < \pi) \quad (1.25) \end{aligned}$$

где

$$F_p = \left(p + \frac{1}{2}\right) X_p N_p + \frac{(-1)^p C_p}{p + \frac{1}{2}} \quad (1.26)$$

$$\varphi_1 = \pi - \varphi \quad \alpha = \arccos \frac{\varphi_1}{V} \quad (1.27)$$

В выражении (1.25) учтено условие равенства нулю коэффициента при особенности, т. е.

$$\sum_{p=0}^{\infty} F_p P_p(\cos \varphi_1) + CP_{-\nu_0}(\cos \varphi_1) = 0 \quad (1.28)$$

Таким образом, задача сведена к решению вполне регулярной бесконечной системы линейных алгебраических уравнений (1.17) совместно с уравнением (1.28).

Нетрудно показать, что уравнению (1.28) будет соответствовать увеличение порядка убывания коэффициентов  $a_{2n+1}$  на одну единицу.

Выделим особенность решения у краю трещин для изгибающих моментов  $M_x$  и  $M_y$ .

Значения изгибающих моментов на линии  $x = 0$  определяются по формулам

$$\begin{aligned} M_x &= \sum_{k=0}^{\infty} \frac{a_k}{i_k^2} \left\{ z + \frac{1}{\operatorname{ch} i_k a} \left[ \frac{i_k a}{2} (1-z) \operatorname{th} i_k a - z \right] \right\} \cos i_k y + \\ &\quad - \frac{\pi(1-z)(3+z)}{4b} \sum_{k=0}^{\infty} a_{2k+1} \left( k + \frac{1}{2} \right) (1-N_k) \cos i_k y \quad (1.29) \\ &\quad (0 < y < b) \end{aligned}$$

$$M_g = \sum_{k=0}^{\infty} \frac{a_k}{k^2} \left\{ 1 - \frac{1}{\operatorname{ch} i_k a} \left[ 1 + \frac{1-\mu}{2} i_k a \operatorname{th} i_k a \right] \right\} \cos i_k y - \\ - \frac{(1-\mu)^2 \pi}{4b} \sum_{k=0}^{\infty} a_{2k+1} \left( k + \frac{1}{2} \right) (1-L_k) \cos i_k y \quad (0 < y < b) \quad (1.30)$$

где

$$L_k = \frac{1 + e^{-2i_k a} - 2i_k a}{2 \operatorname{ch}^2 i_k a}$$

Последние ряды в выражениях (1.29) и (1.30) обращаются в бесконечность у края трещин  $y = (1-\mu)b = 0$ . Выделим главную часть этого ряда на участке  $(0, (1-\mu)b)$ . Пользуясь при этом значением суммы ряда (1.25), получим

$$\sum_{k=0}^{\infty} a_{2k+1} \left( k + \frac{1}{2} \right) \cos \left( k + \frac{1}{2} \right) \varphi = \sum_{k=0}^{\infty} \left( k + \frac{1}{2} \right)^2 X_k \sin \left( k + \frac{1}{2} \right) \varphi_1 = \\ = \frac{\sin^2 \varphi_1}{V \cos \varphi_1 - \cos \varphi_1} H + \Psi(\varphi_1) \quad (0 < \varphi < \beta) \quad (\beta_1 < \varphi_1 < \pi) \quad (1.31)$$

где

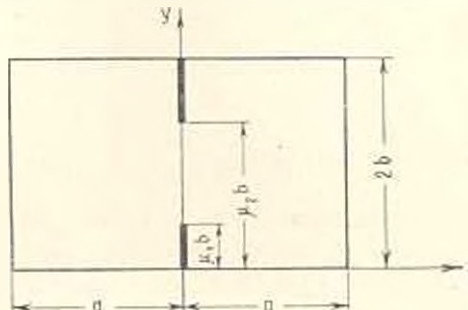
$$H = -\frac{1}{V^2} \left| \sum_{k=0}^{\infty} F_p P_k'(\cos \varphi_1) + CP_{-1/2}(\cos \varphi_1) \right| \quad (1.32)$$

а ограниченная и непрерывная функция  $\Psi(\varphi_1)$  определяется из выражения

$$\Psi(\varphi_1) = -2 \cos \varphi_1 V \cos \varphi_1 - \cos \varphi_1 H + \frac{1}{2} \sin \frac{\varphi_1}{2} \left[ \sum_{k=0}^{\infty} F_p + CP_{-1/2}(1) \right] + \\ + 2 \sin \frac{\varphi_1}{2} \left( 2 \cos^2 \frac{\varphi_1}{2} - \sin^2 \frac{\varphi_1}{2} \right) \left[ \sum_{k=0}^{\infty} F_p P_k'(1) + CP'_{-1/2}(1) \right] + \\ + \frac{2 \cos \varphi_1}{V^2} \left[ \sum_{k=0}^{\infty} F_p \int_0^{\varphi_1} P_p(x) V \sqrt{x - \cos \varphi_1} dx + C \int_0^{\varphi_1} P_{-1/2}(x) \sqrt{x - \cos \varphi_1} dx + \right. \\ \left. + \frac{\sin^2 \varphi_1}{V^2} \left[ \sum_{k=0}^{\infty} F_p \int_0^{\varphi_1} \frac{P_p(x) dx}{\sqrt{x - \cos \varphi_1}} + C \int_0^{\varphi_1} \frac{P_{-1/2}(x) dx}{\sqrt{x - \cos \varphi_1}} \right] \right] \quad (1.33)$$

Таким образом, для изгибающих моментов у концов трещин получается интегрируемая особенность порядка  $(\cos \varphi_1 - \cos \varphi_1)^{-1}$ .

2. Следует отметить, что рассмотренная выше задача решается также другим методом в более общей постановке. А именно, предполагается, что длины трещин, идущих от кромок пластинки, не равны т. е. имеет место симметрия только относительно оси  $y$  (фиг. 2).



Фиг. 2.

Функция прогибов, удовлетворяющая уравнению (1.1), выбирается в виде

$$w = f(y) + \frac{1}{D} \sum_{k=1}^{\infty} [A_k \cosh i_k x + B_k x \sinh i_k x] \sin i_k y \pm \\ \pm \frac{1}{D} \sum_{k=1}^{\infty} \frac{i_k}{4\mu_k} [(1+z) \sinh i_k x + (1-z) i_k x \cosh i_k x] \sin i_k y \quad (2.1)$$

где частное решение  $f(y)$  имеет вид

$$f(y) = \frac{1}{D} \sum_{k=1}^{\infty} \frac{a_k}{i_k^4} \sin i_k y \quad (2.2)$$

$a_k$  — коэффициенты разложения распределенной нагрузки в ряд Фурье.

$$p = \sum_{k=1}^{\infty} a_k \sin i_k y \quad a_k = \frac{1}{b} \int_0^{2b} p \sin i_k y dy \quad (2.3)$$

$$i_k = \frac{\pi k}{2b} \quad k = 1, 2, 3, 4, \dots$$

Границные условия будут

$$w = 0 \quad \frac{\partial^2 w}{\partial x^2} = 0 \quad x = \pm a \quad (2.4)$$

$$w = 0 \quad \frac{\partial^2 w}{\partial y^2} = 0 \quad y = 0 \quad \text{и} \quad y = 2b \quad (2.5)$$

$$\frac{\partial^2 w}{\partial x^2} + z \frac{\partial^2 w}{\partial y^2} = 0 \quad x = 0 \quad \begin{cases} 0 < y < p_1 b \\ p_1 b < y < 2b \end{cases} \quad (2.6)$$

$$\frac{\partial^2 w}{\partial x^2} + (2 - z) \frac{\partial^2 w}{\partial x \partial y} = 0 \quad x = 0 \quad \begin{cases} 0 < y < p_2 b \\ p_2 b < y < 2b \end{cases} \quad (2.7)$$

Условия (2.5) и (2.7) удовлетворяются тождественно. Из уравнений (2.4) получаются значения  $A_2$  и  $B_4$  по формулам (1.10) и (1.11).

Удовлетворяя граничным условиям (2.6) и условию непрерывности угла наклона  $\partial w / \partial x$  на нераэрезанной части линии  $x = 0$ , задачу сведем к решению следующих "тройных" рядов-уравнений:

$$\sum_{k=1}^{\infty} z_{ik} k \sin k\varphi = q(z) \quad (0 < z < p_1) \quad (2.8)$$

$$\sum_{k=1}^{\infty} z_{ik} k \sin k\varphi = 0 \quad (p_1 < z < p_2) \quad (2.8)$$

$$\sum_{k=1}^{\infty} z_{ik} k \sin k\varphi = q(z) \quad (p_2 < z < \pi) \quad (2.8)$$

где приняты обозначения

$$z = \frac{y}{2b}, \quad p_1 = \frac{p_1 \pi}{2}, \quad p_2 = \frac{p_2 \pi}{2} \quad (2.9)$$

$$q(z) = \sum_{k=1}^{\infty} L_k \sin kz \quad (2.10)$$

$$L_k = U_k - z_{ik} N_k \quad (2.11)$$

$$U_k = -\frac{32b^4 a_3}{\pi^2 (1 - z) (3 + z) k^2} \left[ z + \frac{1}{\operatorname{ch} z_{ik} u} \left| \left( 1 - z \right) \frac{\pi a}{4b} k \operatorname{th} z_{ik} u - z \right| \right] \quad (2.12)$$

$N_k$  определяется по формуле (1.14).

Система (2.8) решается методом, указанным Баблояном А. А. и Мхитаряном С. М.\*

Принимая

$$\sum_{k=1}^{\infty} z_{ik} k \sin k\varphi = \Psi(z) \quad \text{при} \quad p_1 < z < p_2 \quad (2.13)$$

\* Баблоян А. А., Мхитарян С. М. "К решению некоторых троинных уравнений с тригонометрическими функциями". Работа доложена на семинаре института математики и механики АН Арм. ССР.

для определения коэффициентов  $\tau_k$  получим следующее уравнение:

$$\tau_k = \frac{2}{\pi k} \left| \int_0^{\infty} \Phi(s) \sin ksds + \int_0^{\infty} q(s) \sin ksds + \int_0^{\infty} q(s) \sin ksds \right| \quad (2.14)$$

Подставив значение  $\tau_k$  из (2.14) во второе уравнение системы (2.8), получим уравнение для определения  $\Phi(s)$

$$\begin{aligned} & \int_0^{\infty} \Phi(s) \sum_{k=1}^{\infty} \frac{\sin ks \sin k\varphi}{k} ds + \int_0^{\infty} q(s) \sum_{k=1}^{\infty} \frac{\sin ks \sin k\varphi}{k} ds + \\ & + \int_0^{\infty} q(s) \sum_{k=1}^{\infty} \frac{\sin ks \sin k\varphi}{k} ds = 0 \end{aligned} \quad (2.15)$$

Используя сумму ряда

$$\sum_{k=1}^{\infty} \frac{\sin ks \sin k\varphi}{k} = \frac{1}{2} \ln \left| \frac{\operatorname{tg} \frac{\varphi}{2} + \operatorname{tg} \frac{s}{2}}{\operatorname{tg} \frac{\varphi}{2} - \operatorname{tg} \frac{s}{2}} \right|$$

уравнение (2.15) приведем к виду

$$\int_b^a \ln \left| \frac{u+v}{u-v} \right| \Phi_1(v) dv = f_1(u) \quad (2.16)$$

где приняты обозначения

$$\Phi_1(v) = \frac{2\Phi(2 \operatorname{arctg} v)}{1+v^2} \quad f_1(u) = f(2 \operatorname{arctg} u) \quad (2.17)$$

$$b = \operatorname{tg} \frac{\varphi_1}{2} \quad a = \operatorname{tg} \frac{\varphi_2}{2}$$

Уравнение (2.16) решается методом М. Г. Крейна [9]. При этом решение получается в виде

$$\begin{aligned} \Phi_1(t) = & \left| \frac{1}{M'(x)} \frac{d}{dx} \int_b^t g(v, x) f_1(v) dv \right|_{v=a} g(t, a) - \\ & - \left| g(t, x) \frac{d}{dx} \left| \frac{1}{M'(x)} \frac{d}{dx} \int_b^t g(v, x) f_1(v) dv \right| \right|_{v=a} dx \end{aligned} \quad (2.18)$$

где  $g(v, x)$  является решением уравнения

$$\int_b^x \ln \left| \frac{u + v}{u - v} \right| g(v, x) dv = 1 \quad (b < x \leq a) \quad (2.19)$$

и имеет вид

$$g(v, x) = \frac{1}{\pi f_0(x, b) + (x^2 - v^2)(v^2 - b^2)} \quad (2.20)$$

$$f_0(x, b) = \frac{1}{x} K(k_1) \quad k_1 = \frac{b}{x} \quad (2.21)$$

$K(k_1)$  — полный эллиптический интеграл I рода.

Это решение в неявном виде дается в работе Штаермана И. Я. [10]

$$M'(x) = \frac{d}{dx} \int_b^x g(v, x) dv = \frac{x}{2(x^2 - b^2) K^2(k_1)} \quad (2.22)$$

Подставив значения (2.20) и (2.22) в (2.18) и перейдя к прежним переменным, получим

$$\begin{aligned} \Phi(\varphi) = & \frac{\cos \frac{\beta_1}{2} \cos \frac{\beta_2}{2}}{|\cos \varphi - \cos \beta_1| |\cos \beta_2 - \cos \varphi|} \sum_{p=1}^{\infty} L_p Q_p - \\ & - \frac{2}{\pi \sqrt{2}} \frac{\cos \frac{\beta_1}{2} \cos \frac{\varphi}{2} \sqrt{\cos \varphi - \cos \beta_2}}{(\cos \beta_1 - \cos \varphi)} \times \\ & \times \sum_{p=1}^{\infty} L_p \left| \int_0^{\beta_2} \frac{\sin s \sqrt{\cos s - \cos \beta_1} \sin ps}{(\cos s - \cos \varphi) |\cos \beta_2 - \cos s|} ds \right. - \\ & \left. - \int_{\beta_2}^{\beta_1} \frac{\sin s \sqrt{\cos \beta_1 - \cos s} \sin ps}{(\cos \varphi - \cos s) |\cos \beta_2 - \cos s|} ds \right| \end{aligned} \quad (2.23)$$

$$Q_p = \frac{2 \operatorname{tg} \frac{\beta_2}{2}}{-K(k)} \left[ \int_0^{\beta_1} [K(k) E(\zeta_r k) - F(\zeta_r k) E(k)] \sin ps ds + \right.$$

$$\left. + \int_{\beta_1}^{\beta_2} [K(k) E(u_r k) - F(u_r k) E(k)] \sin ps ds \right] \quad (2.24)$$

$$k = \frac{\operatorname{tg} \frac{\beta_1}{2}}{\operatorname{tg} \frac{\beta_2}{2}}, \quad \zeta = \arcsin \frac{\operatorname{tg} \frac{\beta_2}{2}}{\operatorname{tg} \frac{\beta_1}{2}} \sqrt{\frac{\operatorname{tg}^2 \frac{\beta_1}{2} - \operatorname{tg}^2 \frac{s}{2}}{\operatorname{tg}^2 \frac{\beta_2}{2} - \operatorname{tg}^2 \frac{s}{2}}}$$

$$\eta = \arcsin \sqrt{\frac{\operatorname{tg}^2 \frac{s}{2} - \operatorname{tg}^2 \frac{\beta_2}{2}}{\operatorname{tg}^2 \frac{s}{2} - \operatorname{tg}^2 \frac{\beta_1}{2}}}$$

$E(k)$  — полный эллиптический интеграл II рода,  $F(u, k)$  и  $E(u, k)$  — неполные эллиптические интегралы I и II рода.

Подставив значение  $\Phi(\varphi)$  из (2.23) в (2.14), получим для определения неизвестных коэффициентов  $a_i$  следующую бесконечную систему линейных алгебраических уравнений:

$$x_k = \sum_{p=1}^{\infty} a_{kp} z_p + b_k \quad (2.25)$$

здесь

$$a_{kp} = p N_p I_{kp} \quad (2.26)$$

$$b_k = \sum_{p=1}^{\infty} U_p I_{kp} \quad (2.27)$$

$$I_{kp} = \frac{2}{\pi k} \left| Q_p \cos \frac{\beta_2}{2} \cos \frac{\beta_1}{2} \right| \int \frac{\sin k \varphi d\varphi}{|\cos \varphi - \cos \beta_2| |\cos \beta_1 - \cos \varphi|} -$$

$$= \frac{2}{\pi} \frac{1}{2} \cos \frac{\beta_1}{2} \int \frac{\sin k \varphi \cos \frac{\beta_2}{2} + \cos \varphi - \cos \beta_2}{(\cos \beta_1 - \cos \varphi)} \times$$

$$\times \left[ \int_0^{\beta_2} \frac{\sin s \cos \varphi - \cos \beta_1 \sin ps}{(\cos s - \cos \varphi) |\cos \beta_2 - \cos s|} ds - \right]$$

$$- \int_0^{\beta_1} \frac{\sin s \cos \beta_1 - \cos s \sin ps}{(\cos \varphi - \cos s) |\cos \beta_1 - \cos s|} ds \Big| d\varphi +$$

$$\int_0^{\beta_2} \sin p \varphi \sin k \varphi d\varphi + \int_0^{\beta_1} \sin p \varphi \sin k \varphi d\varphi \Big| \quad (2.28)$$

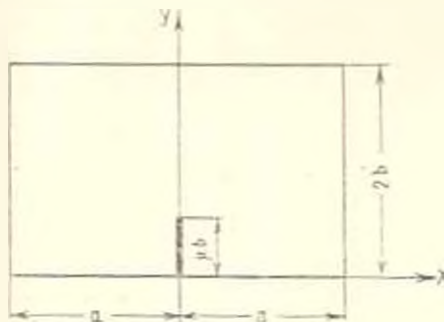
Благодаря тому, что  $N_p$  убывает по экспоненциальному закону и имеет место оценка  $N_p = 0 \left( \frac{1}{k} \right)$  нетрудно доказать, что система (2.25) квазиполна регулярна, т. е. начиная с некоторого номера  $k_0$

$$S_1 = \sum_{k=1}^{\infty} |a_{kp}| < 1 \quad \text{для } k > k_0 \quad (2.29)$$

Однако, следует отметить, что полученные результаты представляют некоторые трудности для численных расчетов ввиду того, что и выражения для коэффициентов бесконечной системы входят двойные интегралы.

Поэтому числовые расчеты, приведенные ниже, проведены для частного случая, когда длины трещин равны, по формулам, полученным в предыдущем параграфе.

3. Рассмотрим второй случай изгиба пластины, когда трещина длиной  $\mu b$  ( $0 < \mu < 2$ ) направлена от кромки вдоль оси симметрии  $y$  пластины (фиг. 3).



Фиг. 3.

Функция прогибов  $w$  определяется по формуле (2.1). Границные условия будут

$$w = 0 \quad \frac{\partial^2 w}{\partial y^2} = 0 \quad \text{при } y = 0 \quad y = 2b \quad (3.1)$$

$$w = 0 \quad \frac{\partial^2 w}{\partial x^2} = 0 \quad \text{при } x = \pm a \quad (3.2)$$

$$\frac{\partial^2 w}{\partial x^2} + z \frac{\partial^2 w}{\partial y^2} = 0 \quad \text{при } x = 0 \quad 0 < y < \mu b \quad (3.3)$$

$$\frac{\partial^2 w}{\partial x^2} + (2 - z) \frac{\partial^2 w}{\partial x \partial y} = 0 \quad \text{при } x = 0 \quad 0 < y < \mu b \quad (3.4)$$

и также получается условие непрерывности угла наклона  $\partial w / \partial x$  на изрезанной части линии  $x = 0$ .

$$\sum_{k=1}^{\infty} x_k \sin k\varphi = 0 \quad (b < \varphi < 2b) \quad (3.5)$$

Уравнения (3.1) и (3.4) удовлетворяются тождественно.  $A_k$  и  $B_k$  определяются из условия (3.2) по формулам (1.10) и (1.11).

Из уравнений (3.3) и (3.5) для определения коэффициентов  $x_k$  получаются следующие парные ряды-уравнения:

$$\begin{aligned} \sum_{k=1}^{\infty} kx_k (1 - N_k) \sin k\varphi &= \sum_{k=1}^{\infty} U_k \sin k\varphi \quad (0 < \varphi < b) \\ \sum_{k=1}^{\infty} x_k \sin k\varphi &= 0 \quad (b < \varphi < \pi) \end{aligned} \quad (3.6)$$

где

$$\varphi = \frac{\pi y}{2b} \quad \beta = \frac{\pi \varphi}{2} \quad (3.7)$$

$N_k$  определяется формулой (1.14), а  $U_k$  — формулой (2.12). Пользуясь методом, разработанным в работе [11], приведем решение системы (3.6) к следующей бесконечной системе линейных алгебраических уравнений:

$$x_n = \sum_{k=1}^{\infty} a_{kn} x_k + b_n \quad (3.8)$$

где

$$a_{kn} = \frac{1}{2} k N_k f_{kn} \quad (3.9)$$

$$b_n = \frac{1}{2} \sum_{k=1}^{\infty} U_k f_{kn} \quad (3.10)$$

$$f_{kn} = \int_0^{\beta} Z_k(\cos \theta) Z_n(\cos \theta) \operatorname{ctg} \theta / 2 d\theta \quad (3.11)$$

$$Z_n(\cos \theta) = P_{n-1}(\cos \theta) + P_n(\cos \theta)$$

$P_n(\cos \theta)$  — полином Лежандра.

Исследуем систему (3.8).

В работе [12] показано, что при  $N_k$ , имеющем порядок убывания не ниже, чем  $1/k$ ,  $S_n = \sum_{k=1}^{\infty} |a_{kn}|$  стремится к нулю при  $n \rightarrow \infty$ , начиная с некоторого номера  $n_0$ .

$$S_n < 1 \quad \text{при } n \geq n_0 \quad (3.12)$$

Следовательно, система (3.8) квазиполне регулярна.

Можно также показать, что при  $a > b$  система (3.8) вполне регулярна.

Для этого, используя оценку  $|f_{kn}| \leq \frac{2}{n}$  и учитывая (1.14), оценим сумму модулей коэффициентов бесконечной системы

$$S_n = \sum_{k=1}^{\infty} |a_{kn}| \leq \sum_{k=1}^{\infty} \frac{1}{n} \frac{k(1+e^{-kz} - k(1-\sigma)(3+z))}{\sinh^2 \frac{k\pi}{2}} \quad (3.13)$$

Наибольшее значение в правой части (3.13) получится при  $\sigma = 0.5$  и  $z = 1$  и будет равно 0.1.

Следовательно, имеем

$$S_n \leq 0.1 \text{ для } n \geq 1 \quad (3.14)$$

т. е. система (3.8) вполне регулярна при  $a > b$ .

Оценим свободные члены  $b_n$  системы (3.8). В том случае, когда по пластинке действует непрерывно распределенная нагрузка, коэффициенты  $U_k$ , согласно (2.12), будут иметь порядок  $1/k^3$ . Следовательно, свободные члены  $b_n$  имеют тот же порядок убывания, что и члены ряда (3.10).

Для  $f_{kn}$  из работы [12] будем иметь оценку  $|f_{kn}| = O(n^{-1})$ , откуда следует, что свободные члены  $b_n$  системы (3.8) ограничены сверху и при  $n \rightarrow \infty$  стремятся к нулю, как

$$b_n = O(n^{-1}) \quad (3.15)$$

Путем последовательных приближений можно показать, что неизвестные коэффициенты  $a_n$  будут иметь тот же порядок, что и свободные члены системы (3.8), т. е.

$$a_n = O(n^{-1}) \quad (3.16)$$

Аналогично первому случаю изгиба пластины, выделение особых членов для изгибающих моментов  $M$  и  $M_q$  у края трещины сводится к отделению главной части ряда  $\sum_{k=1}^{\infty} a_k k \sin k\varphi$  на участке  $(\beta < \varphi < \gamma)$ . Подставив сюда значение  $a_k$  из (3.8) и используя из [11] соотношение

$$dY_k(x) = \frac{k}{1-x} Z_k(x) dx \quad (3.17)$$

и сумму ряда

$$\sum_{k=1}^{\infty} Y_k(\cos \theta) \sin kx = \begin{cases} \frac{1}{2} \cos \frac{x}{2} (\cos \theta - \cos x)^{-1} & (x > 0) \\ 0 & (x < 0) \end{cases} \quad (3.18)$$

получим

$$\sum_{k=1}^{\infty} z_{kk} \sin k\varphi = \frac{1}{2} \sum_{k=1}^{\infty} k \sin k\varphi \sum_{p=1}^{\infty} [p N_p z_p + U_p] \int_0^1 Z_k(\cos \theta) \times$$

$$Z_p(\cos \theta) \operatorname{ctg} \frac{\theta}{2} d\theta = \frac{\sin \frac{\varphi}{2}}{|\cos \varphi - \cos z|} G + f(z) \quad (0 < z < \pi) \quad (3.19)$$

где

$$G = -\frac{\sqrt{2}}{2} \left[ \sum_{p=1}^{\infty} p N_p z_p Z_p(\cos \varphi) + \sum_{p=1}^{\infty} U_p Z_p(\cos \varphi) \right] \quad (3.20)$$

а ограниченная и непрерывная функция  $f(z)$  имеет вид

$$f(z) = \frac{\sqrt{2}}{2} \sin \frac{\varphi}{2} \left[ \sum_{p=1}^{\infty} p N_p z_p \int_0^z \frac{Z_p(x) dx}{x - \cos \varphi} + \sum_{p=1}^{\infty} U_p \int_0^z \frac{Z_p(x) dx}{x - \cos \varphi} \right] \quad (3.21)$$

$$z = \arccos \varphi$$

4. В качестве примеров рассматриваются квадратная пластинка ( $a = b$ ) и бесконечная пластинка ( $a = \infty$ ) для обоих случаев расположения трещины. В первом случае принимается, что длины трещин равны и  $\nu = \frac{1}{2}$ , во втором случае  $\nu = 1$ . Таким образом, общая длина трещин в рассматриваемых примерах одинакова и равна половине ширины пластинки. Далее принимается  $\varphi = \text{const}$  и  $\varphi = 0.25$ .

В первом случае изгиба пластинки по формулам (1.6) и (1.8) получаем

$$a_k = \frac{4p(-1)^k}{\pi(2k+1)} \quad (4.1)$$

$$f(y) = \frac{p}{24D} [y^4 - 6y^2b^2 - 5b^4] \quad (4.2)$$

Из системы уравнений (1.17) и уравнения (1.28) определяем значения коэффициентов  $z_{kk}$  и постоянной  $C$ . Здесь вычислены десять значений коэффициентов  $z_{kk}$ , которые приведены в табл. 1.

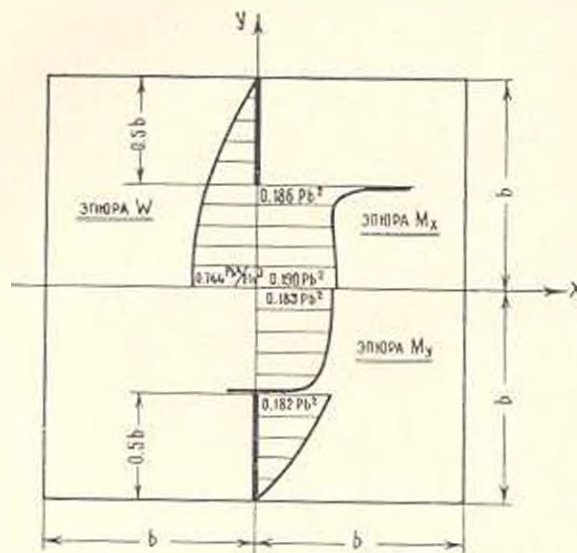
По формулам (1.7), (1.29), (1.30) вычислены значения прогибов  $w$  и изгибающих моментов  $M_x, M_y$  на линии  $x = 0$ .

T'ao-kung I

Tuganbaev 2

$k$	1	2	3	4	5	6	7	8	9	10
$q = n$	$\alpha_{\text{L}}/\rho_{\text{L}}$	$-0.049874$	$-0.050219$	$-0.013191$	$0.011808$	$0.006027$	$0.006135$	$0.003791$	$0.002672$	$-0.002677$
$g = n$	$\alpha_{\text{L}}/\rho_{\text{L}}$	$-0.03978$	$-0.034289$	$0.037162$	$0.007366$	$0.004051$	$-0.00162$	$-0.052020$	$0.002586$	$0.001897$

Построены эпюры прогибов и изгибающих моментов на линии  $x = 0$  для квадратной пластиинки (фиг. 4) и бесконечной пластиинки (фиг. 5).

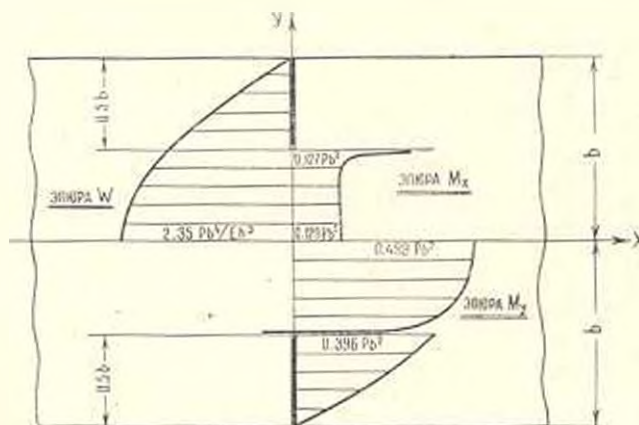


Фиг. 4.

Во втором случае получаем

$$a_{2k} = 0 \quad a_{2k+1} = -\frac{4p}{\pi(2k+1)} \quad k = 0, 1, 2, 3, \dots \quad (4.3)$$

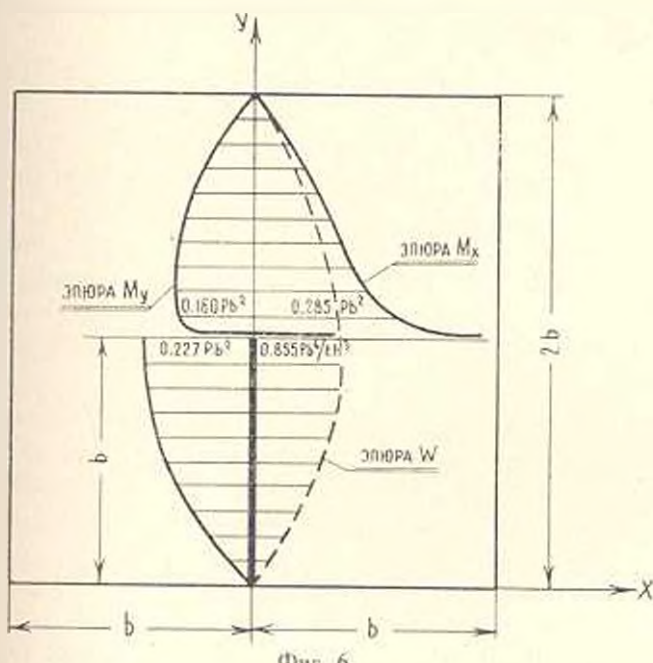
$$f(y) = -\frac{p}{24D} y [y^3 - 4by^2 + 8b^2] \quad (4.4)$$



Фиг. 5.

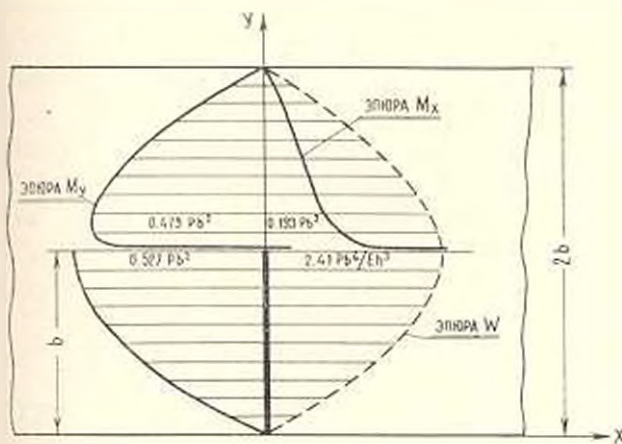
Определены десять значений коэффициентов  $a_k$  из системы (3.8) (табл. 2). Вычислены значения прогибов и изгибающих моментов на

линии  $x = 0$  и построены эпюры для квадратной пластинки (фиг. 6) и бесконечной пластинки (фиг. 7).



Фиг. 6.

Справим значения, наибольших прогибов и изгибающих моментов для первого и второго случая изгиба пластинки, а также для случая, рассмотренного в работе [3], когда трещина симметрична относительно осей симметрии и равна половине ширины пластинки.



Фиг. 7.

Из эпюр для первого случая изгиба пластинки имеем:  
для квадратной пластинки (фиг. 4)

$$\begin{aligned} \text{при } x=0, y=0 & w_{\max} = 0.744 \text{ pb}^4/Eh^3 \quad M_{x\max} = 0.183 \text{ pb}^2 \quad M_{y\max} = 0.19 \text{ pb}^2 \\ \text{при } x=0, y=0.4b & M_x = 0.186 \text{ pb}^2 \end{aligned} \quad (4.5)$$

для бесконечной пластинки (фиг. 5)

$$\begin{aligned} \text{при } x=0, y=0 & w_{\max} = 2.35 \text{ pb}^4/Eh^3 \quad M_{y\max} = 0.499 \text{ pb}^2 \quad M_{x\max} = 0.129 \text{ pb}^2 \\ \text{при } x=0, y=0.4b & M_x = 0.127 \text{ pb}^2 \end{aligned} \quad (4.6)$$

Для второго случая изгиба пластинки имеем:

для квадратной пластинки (фиг. 6)

$$\begin{aligned} \text{при } x=0, y=0 & w_{\max} = 0.855 \text{ pb}^4/Eh^3 \quad M_{y\max} = 0.227 \text{ pb}^2 \\ \text{при } x=0, y=0.1b & M_x = 0.285 \text{ pb}^2 \end{aligned} \quad (4.7)$$

для бесконечной пластинки (фиг. 7)

$$\begin{aligned} \text{при } x=0, y=0 & w_{\max} = 2.41 \text{ pb}^4/Eh^3 \quad M_{y\max} = 0.527 \text{ pb}^2 \\ \text{при } x=0, y=0.1b & M_x = 0.193 \text{ pb}^2 \end{aligned} \quad (4.8)$$

Из работы [3] имеем:

для квадратной пластинки

$$\begin{aligned} \text{при } x=0, y=0 & w_{\max} = 0.990 \text{ pb}^4/Eh^3 \quad M_{y\max} = 0.231 \text{ pb}^2 \\ \text{при } x=0, y=0.6b & M_x = 0.234 \text{ pb}^2 \end{aligned} \quad (4.9)$$

для бесконечной пластинки

$$\begin{aligned} \text{при } x=0, y=0 & w_{\max} = 2.879 \text{ pb}^4/Eh^3 \quad M_{y\max} = 0.529 \text{ pb}^2 \\ \text{при } x=0, y=0.6b & M_x = 0.159 \text{ pb}^2 \end{aligned}$$

Сравнивая значения (4.5), (4.6), (4.7), (4.8) и (4.9), замечаем, что наибольшие прогиб и изгибающий момент  $M_y$  получаются для случая, когда трещина симметрична относительно осей симметрии прямоугольника. Наименьшие же прогиб и изгибающий момент  $M_x$  имеем для первого случая изгиба пластинки.

Наибольшее значение изгибающего момента  $M_x$ , на расстоянии  $0.1b$  от края трещины получается для второго случая изгиба пластинки, а наименьшее — для первого случая изгиба пластинки.

Числовые расчеты произведены на ЭЦВМ „Наир“.

Է. Վ. ԲԵԼՈՒԲԵԿՅԱՆ

## ԱՐԵՔԱՑՄԻ ՃԱՐՔԵՐԸ. ՈԽՂԱՎԱՅՐՈՒՆ ՍԱԼԵՐԻ ՄԱԹԻՄԱՏԻԿԱ

Ա մ տ ո փ ո ւ մ

Աշխատանքում արվում է ճարկի ունեցող և եղագակող ազատ հնագած:

ա) եթե առն ունի եղբերից եկու երկու ճարկի սրանը պահպանի համար,

ա) եթե առն ունի եղբերից եկու երկու ճարկի սրանը պահպանի համար,

բ) եթե առն ունի իր սիմետրիայի տունդրավոր եկու միայն մեկ ճարկ:

Խնդրի բաժնում ժամանակակից ազագաղործում է լրացացի ազգեցության եղանակը:

Խնդրի բերվում է օգտագործության լրացացի ազգեցության եղանակը:

Անձգամար երկարության ճարկի զամանակը սրանը անհայտ զարգացնելու որաշվում էն լրիվ սեղույցար հանրահաշվական զամային հավասարումների անվերը սիստեմից:

Անձգամար երկարության ճարկի զամանակը սրանը անհայտ լրացար, սրանը բերվում էն լրացացի իտունին սեղույցար անվերը սիստեմի:

Կատարված ճարկի ժամանակը մոտ կետերում լրացացի ազգեցության անշառումն է:

Թերիամ էն մասնավոր զամանակը համար թվային որինակները:

E. V. BELUBEKIAN

## BENDING OF RECTANGULAR PLATES WITH SYMMETRICAL CRACKS

## S u m m a r y

The solution of the problem of bending of rectangular plates freely supported along the contour in two cases of disposition of cracks is given.

In the first case the plate with two cracks located symmetrically in relation to the symmetry axis of the plate is considered.

In the second case the plate with a crack on a symmetry axis of the plate is considered.

The method of supplementary actions is used.

The problem is brought to a solution of dual series-equations which in its turn is reduced to a quite regular infinite system of linear equations.

Numerical examples are given.

## ЛИТЕРАТУРА

1. Сапонджян О. М. Некоторые задачи теории изгиба тонких панелей. Докторская диссертация, 1949. См. также: Сапонджян О. М., ПММ, т. 13, в. 5, 1949.
2. Сапонджян О. М. Об одном случае изгиба тонкой прямоугольной панели. Докл. АН Арм. ССР, т. 37, № 3, 1963.
3. Белубекян Э. В. Изгиб свободно опертой по контуру прямоугольной пластины с симметричным разрезом. Изв. АН АрмССР. Механика, т. XXI, № 2, 1968.
4. Williams M. L. The bending stress distribution at the base of a stationary crack. J. Appl. Mech., vol. 28, No. 1, 1961.
5. Си, Парис. Эрдотин. Коэффициенты интенсивности напряжений в задачах растяжения и изгиба пластин. Прикл. механика, т. 84, серия Е, № 2, 1962, ИЛ.
6. Knowles J. K., Wang N. M. On the bending of an elastic plate containing a crack. J. Math. and Phys., vol. 39, No. 4, 1960.
7. Си, Райс. Изгиб неоднородных пластин с трещинами. Прикл. механика, т. 31, серия Е, № 3, 1964, ИЛ.
8. Баблоян А. А. Решение некоторых "парных" рядов. Докл. АН АрмССР, т. 39, № 3, 1964.
9. Гохберг И. Ц., Крейн М. Г. Теория волнистородных операторов и гильбертовое пространство и ее приложения. Изд. "Наука", М., 1967.
10. Штиерман И. Я. Контактные задачи теории упругости. Гостехиздат, М.-Л., 1949.
11. Баблоян А. А. Решение некоторых парных уравнений. ПММ, вып. 2, т. 31, 1967.
12. Баблоян А. А., Саплян В. Г. Решение смешанной задачи теории упругости для кругового кольца. Изв. АН АрмССР. Механика, т. XX, № 5, 1967.
13. Канторович Л. В. и Крылов В. И. Приближенные методы высшего анализа. Гостехиздат, Л.-М., 1952.

Б. А. КОРБУГ, В. И. ЛАЗАРЕВ

## ОБ УСТОЙЧИВОСТИ ЦИЛИНДРИЧЕСКОЙ ОБОЛОЧКИ С ПОЛЫМ ЗАПОЛНИТЕЛЕМ ПРИ РАДИАЛЬНОМ ДАВЛЕНИИ

Рассматривается тонкостенная цилиндрическая оболочка средней длины, содержащая внутри полый заполнитель (фиг. 1). Снаружи оболочка подвержена действию равномерного радиального давления. Определяются верхнее и нижнее критические давления.

Аналогичная задача, в предположении, что заполнитель подчиняется модели Винклера с известным коэффициентом постели, решалась в работе [1]. Однако, там величина коэффициента постели не связывалась с физическими и геометрическими параметрами заполнителя и поэтому фактически оставалась неизвестной. Кроме того, учет действия заполнителя на основе винклеровского основания весьма приближенно отражает работу заполнителя, в частности, не учитывает явления связности и возникающие в связи с этим касательные напряжения.

В настоящей статье предлагается модель заполнителя, которая, с одной стороны, учитывает связность, с другой — позволяет связать работу заполнителя с его упругими постоянными.

Особенность потери устойчивости оболочки при радиальном давлении состоит в том, что вдоль оси образуется одна полуволна, п в окружном направлении несколько. Это позволяет принять допущение о незначительности касательных напряжений в заполнителе в осевом направлении в сравнении с напряжениями вдоль окружности. Исходя из этого, предлагается заменить заполнитель как трехмерное тело системой плоских тел — дисков, не связанных между собой. Такое допущение будет лучше оправдываться с увеличением длины оболочки (заполнителя). Деформацию каждого диска определим, исходя из решения плоской задачи теории упругости, предполагая, что диски находятся в условиях плоского напряженного состояния. Если исходить из плоской деформации, то придется упругие постоянные заменить на их приведенные величины. На окончательный же результат, как показывают расчеты, такая замена повлияет мало.

1. Для определения верхнего критического давления воспользуемся уравнениями устойчивости пологих оболочек в смешанной форме [2]

$$\frac{D}{h} \nabla^2 \nabla^6 w = -\frac{1}{R} \frac{\partial^2 \Phi}{\partial x^2} - z_y \frac{\partial^2 w}{\partial y^2} + \frac{q_z}{h} \quad (1.1)$$

$$\frac{1}{E} \nabla^2 \nabla^2 \Phi = \frac{1}{R} \frac{\partial^2 w}{\partial x^2} \quad (1.2)$$

где  $q$  — нормальная реакция заполнителя, остальные обозначения — общепринятые.

Две из трех неизвестных функций в уравнениях (1.1) и (1.2) примем в виде

$$w = A_n \sin \frac{\pi x}{L} \cos \frac{\pi y}{R} \quad (1.3)$$

$$\Phi = B_n \sin \frac{\pi x}{L} \cos \frac{\pi y}{R} \quad (1.4)$$

Здесь  $A_n$  и  $B_n$  — постоянные,  $n$  — число волн вдоль окружности,  $R$  и  $L$  — соответственно радиус и длина оболочки.

Выбранные функции соответствуют наличию на торцах оболочки диафрагм, жестких в своей и гибких из своей плоскости.

Третья неизвестная  $q$ , определяется из решения бигармонического уравнения относительно функции напряжений для заполнителя

$$\nabla^2 \nabla^2 \Phi_s = 0 \quad (1.5)$$

Решение (1.5) представим так [3]:

$$\Phi_s = (A_1 r^n + A_2 r^{n+2} + A_3 r^{-n-2} + A_4 r^{-n}) \cos \pi \theta \quad (1.6)$$

где  $r$  — радиус,  $\theta$  — полярный угол,  $A_i$  ( $i = 1, \dots, 4$ ) — постоянные (фиг. 1).

Предполагая, что крепление заполнителя к оболочке допускает проскальзывание, граничные условия запишем следующим образом:

$$\tau_r = 0; \quad \tau_{r0} = 0 \quad \text{при } r = a \quad (1.7)$$

$$w_a = w; \quad \tau_{r0} = 0 \quad \text{при } r = R$$

Здесь  $\tau_r$  и  $\tau_{r0}$  — радиальное и касательное напряжения,  $w_a$  — радиальное перемещение,  $a$  и  $R$  — соответственно внутренний и наружный радиусы заполнителя.

Используя известные соотношения [3]

$$\begin{aligned} \tau_r &= \frac{1}{r} \frac{\partial \Phi_s}{\partial r} + \frac{1}{r^2} \frac{\partial^2 \Phi_s}{\partial \theta^2} \\ \tau_{r0} &= \frac{1}{r^2} \frac{\partial \Phi_s}{\partial \theta} - \frac{1}{r} \frac{\partial^2 \Phi_s}{\partial r \partial \theta} \end{aligned} \quad (1.8)$$

$$\frac{\partial w_a}{\partial r} = \frac{1}{E_s} \left( \frac{1}{r} \frac{\partial \Phi_s}{\partial r} + \frac{1}{r^2} \frac{\partial^2 \Phi_s}{\partial \theta^2} - q_s \frac{\partial^2 \Phi_s}{\partial r^2} \right) \quad (1.9)$$

получим из (1.6) с учетом (1.7)

$$\begin{aligned} \tau_r &= -[A_1 n (n-1) r^{n-2} + A_2 (n-2) (n+1) r^n + \\ &+ A_3 n (n+1) r^{-n-2} + A_4 (n-1) (n+2) r^{-n}] \cos \pi \theta \end{aligned} \quad (1.10)$$

$$E_s w_1 = - \{ n(1+v_s)(A_1 r^{n-1} - A_2 r^{-n+1}) + [n(1+v_s) - 2(1-v_s)] A_2 r^{n-1} - [n(1+v_s) + 2(1-v_s)] A_1 r^{-n+1} \} \cos nr \quad (1.11)$$

$$A_1 = - \frac{A_s E R^{-n+1}}{2(1+v_s) \Delta_n} (n+1)(n-1+z^{-2n}-n^2)$$

$$A_2 = - \frac{A_s E R^{n-1}}{2(1+v_s) \Delta_n} (n-1)(n+1+z^{-2n}-n^2)$$

$$A_3 = - \frac{A_s E R^{n-1}}{2(1+v_s) \Delta_n} (n-1)(n+1-z^{2n}-n^2)$$

$$A_4 = - \frac{A_s E R^{n-1}}{2(1+v_s) \Delta_n} (n+1)(n-1+z^{2n}-n^2) \quad (1.12)$$

$$\Delta_n = n! (z^{-2n} - z^{2n}) + n^2 (z^{-2} - z^2) +$$

$$+ \frac{1-v_s}{1+v_s} [n(z^{-2n} - z^{2n}) - (z^{-n} - z^n)^2 + 2n^2 (z^{-2} - 1)]$$

где  $v_s$  — коэффициент Пуассона материала заполнителя.

Реакцию  $q_s$  найдем из условия непрерывности напряжений на поверхности контакта

$$q_s = -z_s w_s \quad (1.13)$$

Условие (1.13) с учетом (1.8), (1.9), (1.10), (1.11) и (1.12) дает

$$q_s = -z_s w_s \quad (1.14)$$

$$a_n = \frac{\sigma_s|_{r=R}}{\sigma_s|_{r=0}} = \frac{E_s(n^2-1)}{R(1+v_s)\Delta_n} [(z^{-n}-z^n)^2 - n^2(z^{-1}-z)^2] \quad (1.15)$$

Выражение (1.14) по форме совпадает с отпором по модели Винклера, а постоянная  $z_s$  — с соответствующим коэффициентом постели. Однако, в отличие от винклеровского основания  $z_s$  учитывает действие как нормальных, так и касательных напряжений.

Докритическое кольцевое напряжение в оболочке определяется по формуле [1]

$$z_s = \frac{qR}{h \left( 1 + \frac{\sigma_0 R^2}{Eh} \right)} \quad (1.16)$$

где  $q$  — внешнее давление, а  $\sigma_0$  находится из (1.15) при условии  $n=0$

$$\sigma_0 = \frac{E_s(1-z^2)}{(1+v_s)R \left( z^2 + \frac{1-v_s}{1+v_s} \right)} \quad (1.17)$$

Внеси функции (1.3), (1.4) и (1.14) с учетом (1.11), (1.12), (1.15), (1.16) и (1.17) в уравнения (1.1) и (1.2), получим после упрощений [1]

$$q_s^* = (1 + z_s^*) \left[ \frac{1}{12(1 - v^2)} n^2 x + \frac{\delta^2}{n^2 x} + z_s^* \frac{1}{n^2 x} \right] \quad (1.18)$$

Здесь введены безразмерные параметры

$$\begin{aligned} q_s^* &= \frac{qR^2}{Eh^3}, \quad z_s^* = \frac{E_s(1 - v^2)}{(1 + z_s) \left( v^2 + \frac{1 - z_s}{1 + z_s} \right)}, \quad E_s = \frac{E_s R}{Eh}, \quad v = \frac{h}{R} \\ z_s^* &= \frac{E_s(n^2 - 1)}{(1 + z_s) \Delta_n} [(z^{-n} - z^n)^2 - n^2(z^{-1} - z)^2], \quad \delta = \frac{\pi R}{L} \end{aligned} \quad (1.19)$$

$z_s$  — коэффициент Пуассона материала оболочки.

Критическое давление находится из (1.18) путем минимизации  $q_s^*$  по  $n$ .

2. Решая нелинейную задачу, воспользуемся методом Ритца. Полная энергия системы будет [2]

$$\mathcal{E} = U_e - U_a + U_i - U_q \quad (2.1)$$

где  $U_e$ ,  $U_a$  и  $U_i$  — составляющие потенциальной энергии соответствующей срединной поверхности, изгиба и заполнителя;  $U_q$  — потенциал внешних сил. Энергия оболочки и потенциал внешних сил определяются известными выражениями [2]. Для определения энергии заполнителя необходимо предварительно задаться прогибом оболочки, поскольку ее величина зависит от характера задаваемого волнообразования.

Выражение для прогиба назовем в виде [2]

$$w = f_1 \sin \frac{\pi x}{L} \cos \frac{\pi y}{R} + f_2 \sin^2 \frac{\pi x}{L} + f_0 \quad (2.2)$$

где  $f_0$ ,  $f_1$  и  $f_2$  — амплитуды слагаемых общего прогиба. Тогда энергию заполнителя можно представить так (фиг. 2)

$$U_i = \int_0^{L/2\pi R} \int_0^{2\pi R} u_i dx dy \quad (2.3)$$

$$\begin{aligned} U_i &= \frac{1}{2} z_0 \left( f_0 + f_2 \sin^2 \frac{\pi x}{L} \right)^2 + z_2 \left( f_0 + f_2 \sin^2 \frac{\pi x}{L} \right) \times \\ &\quad \times f_1 \sin \frac{\pi x}{L} \cos \frac{\pi y}{R} + \frac{1}{2} z_1 \left( f_1 \sin \frac{\pi x}{L} \cos \frac{\pi y}{R} \right)^2 + \\ &\quad + \frac{1}{2} (z_0 - z_1) f_1 f_2 \sin^2 \frac{\pi x}{L} \cos \frac{\pi y}{R} \end{aligned} \quad (2.4)$$

Выполнив процедуру Ритца — Папконича, получим

$$q_s^* = F \left[ \left( \frac{A}{B - C_1} - B \right) 1 + \frac{1}{2} C_1^2 \right] + q_s^* \quad (2.5)$$

$$\begin{aligned}
 A &= \frac{\pi^2 T}{16 \theta^4} \left[ 1 + \theta^4 + 2 \frac{x_0^*}{1 + x_0^*} \right] \left[ \frac{1 + x_0^*}{\pi^2 \gamma} + \frac{4}{3} \frac{\pi^2 T}{(1 - \gamma^2)} \right] \\
 B &= \frac{1}{4 \theta^2} = \frac{2 \theta^2}{S_1^2}, \quad C = 2 \theta^2 \left( \frac{1}{S_1^2} - \frac{1}{S_2^2} \right) \\
 q^* &= F \left| \frac{\theta^4}{\pi^2 \gamma} + \frac{1}{12} \frac{\pi^2 S_1^2}{(1 - \gamma^2) \theta^4} - \frac{x_0^*}{\pi^2 \gamma} \right| \quad (2.6) \\
 F &= h^2 (1 - \gamma^2), \quad \theta = \frac{\pi R}{nL}, \quad \gamma = \frac{f_1}{h} \\
 S_1 &= 1 + \theta^2, \quad S_2 = 1 + 9 \theta^2, \quad \gamma = \frac{R h}{L^2}
 \end{aligned}$$

Нижнее критическое давление определяется из условий

$$\frac{\partial q^*}{\partial \theta} = \frac{\partial q^*}{\partial \gamma} = 0 \quad (2.7)$$

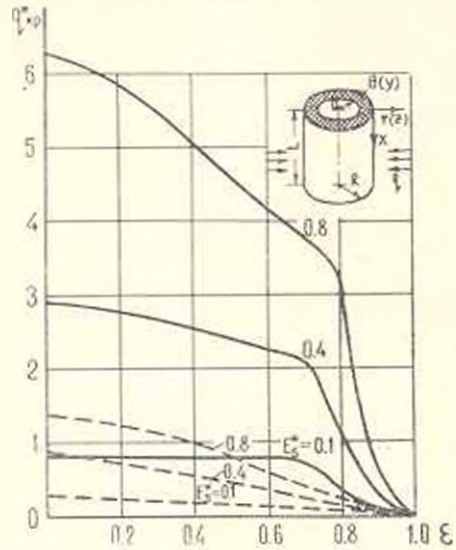
Сравнение выражений (1.18) и (2.5) с соответствующими выражениями из работы [1] показывает, что они имеют одинаковую структуру. Однако, по существу они различным образом отражают влияние заполнителя по соображениям, высказанным выше. Кроме того, параметры  $x_0^*$  и  $\gamma$  теперь связываются с упругими постоянными заполнителя  $E$ , и  $\gamma$ , т. е. легко определяются.

3. Были вычислены значения верхнего и нижнего критического давлений при следующих данных:  $\frac{L}{R} = \pi$ ,  $\frac{h}{R} = \frac{1}{250}$ ,  $\nu = \nu_r = 0.3$ ,  $E = 0, 0.1, 0.4, 0.8$ ,  $\gamma = 0, 0.3, 0.6, 0.9, 1.0$ . Результаты даны на фиг. 1, 2 и 3.

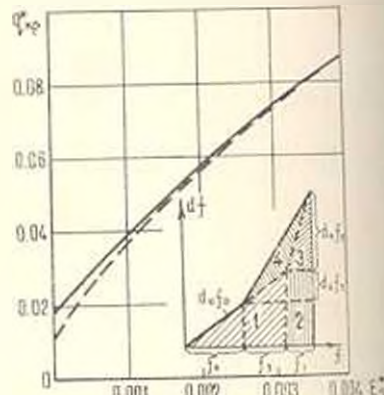
На первой из фигур приведены зависимости критических давлений от радиуса и жесткости заполнителя. Как видно, с увеличением диаметра канала устойчивость оболочки падает. Характерно, что в интервале значений  $\gamma = 0 - 0.7$  уменьшение  $q^*$  плавное: при  $\gamma = 0.7 - 1.0$   $q^*$  падает резко. Переход из первой области во вторую сопровождается интенсивным уменьшением числа волн. Такой результат представляется естественным, поскольку при малом диаметре канала заполнитель работает как масса и число волн должно быть велико. Напротив, для больших диаметров канала система оболочка — заполнитель по условиям работы приближается к двухслойной оболочке, которая по характеру волнообразования близка к однослоиной.

Для сравнения на фиг. 1 пунктирными линиями показаны критические давления, найденные и предположения, что  $\gamma^* = x_0^*$ , т. е., что отпор не зависит от числа волн. Это равносильно моделированию заполнителя основанием Винклера с постоянным коэффициентом постели. Как

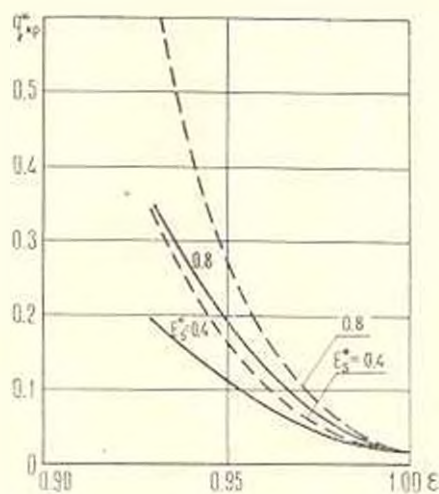
видно, винклеровская модель значительно занижает критические давления, причем занижение растет с увеличением жесткости заполнителя. Такой результат объясняется влиянием касательных напряжений, величина которых растет с увеличением числа волн. Последнее тем больше, чем выше жесткость заполнителя.



Фиг. 1.



Фиг. 2.



Фиг. 3.

На фиг. 2 показано сравнение верхнего (сплошная линия) и нижнего (пунктир) критических давлений при различной жесткости заполнителя и случае отсутствия канала. Здесь видно, что оба давления становятся практически равными уже при весьма малой жесткости заполнителя ( $E_s = 0.004$ ) и, следовательно, надобность в решении нелинейной задачи отпадает. Для оболочки с принятыми параметрами со-

ответствующий модуль упругости не должен быть меньше  $\sim 50 \text{ кг/см}^2$ . Реальные заполнители имеют модуль упругости порядка  $10^3 - 10^4 \text{ кг/см}^2$ .

Для оценки точности предложенной модели заполнителя на фиг. 3 дано сравнение полученных критических давлений с результатами, даваемыми теорией двухслойных оболочек (пунктир) [4]. Как и следовало ожидать, совпадение хорошее в области больших значений  $\varepsilon = 0.95 - 1$ , т. е. для случая, когда суммарная толщина оболочки и заполнителя мала.

В. А. КОРБУТ, В. И. ЛАЗАРЕВ

## ԱՎԱՐԱՐՈՒԹՅԱՆ ԿԱՌԱՎԱՐՈՒԹՅԱՆ ԿԱՅԱԽՈՒԹՅՈՒՆԸ ՑԱՆԿԱՎԱՅԻՆ ՀԵՆԴՐԱՅԻ ԳԻԳՐՈՒՄ

Ա մ փ ս փ ռ չ մ

Դիտարկված է միջին երկարությամբ, բարակապատ պահաժին թաղանթի, որը ներսում ունի սահման առաձգական լրիքը: Եցված ըստ մոդելացման՝ է պիտի առաջարկել սիստեմայի որևէ միազգամայն միջինուց հետո Արագոնական միջինուց զիջության մեջ առաջարկել առաջարկանության առաջարկանության արթի խնդրից:

Դիտարկված թաղանթի համար որպես են վերին և ստորին կրիստալական բարականություն շատավագավին ճնշմամբ սեղման վեպրում: Գծալին խրնչերը լուծված գործարքամբ թաղանթների առաջարարամների պահանջմանը ուղղված է առաջարկանության արթի խնդրից:

Հաշվված են լցվածքի առարկեր կորությանների և ներքին տրամագրման դեպքերում կրիստալական ճնշամները: Է հայտ են թերքած, սահման լրիքած քայլության մեջ առաջարկանության արթի խնդրից:

В. А. KORBUT, V. I. LAZAREV

## ON STABILITY OF A CYLINDRICAL SHELL WITH THE HOLLOW CORE UNDER RADIAL PRESSURE

S u m m a r y

A thin-walled cylindrical shell of the average length with hollow elastic core is examined. The core is modeled as a system of discs not connected one with other. The discs deformation is defined from a solution of a plane problem of elasticity.

The upper and lower critical pressures are defined for the considered shell in the case of radial compression. The linear problem is

solved by means of mixed form equations for sloping shells and non-linear problem is solved by Ritz' method.

Different critical pressures for different values of rigidity and inner diametres of the core have been calculated.

Peculiarities of behaviour of the shell with hollow core are established.

#### Л И Т Е Р А Т У Р А

1. Корбут Б. А., Саксиков С. Г. Устойчивость цилиндрической оболочки с упругим центральным ядром при внешнем радиальном давлении. ИВУЭ. Авиационная техника, 3, 1966.
2. Вольмир С. А. Устойчивость упругих систем. Физматлит, М., 1963.
3. Тимошенко С. П. Теория упругости. ГТТИ, М.-Л., 1934.
4. Короден В. И. Тонкие двухслойные пластинки и оболочки. Изв. сб. АН СССР т. XXII, 1955.

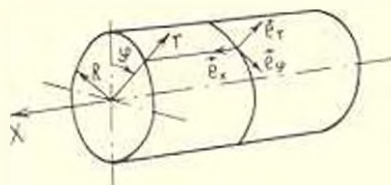
Р. Н. ОВАКИМЯН

## ОБ УСТОЙЧИВОСТИ ЦИЛИНДРИЧЕСКОЙ ТОКОНЕСУЩЕЙ ОБОЛОЧКИ БЕСКОНЕЧНОЙ ПРОВОДИМОСТИ

Во многих областях науки и техники постоянно растет потребность в сильных магнитных полях. Ввиду этого в последнее время широко используются сверхпроводящие токонесущие поверхности [1,2]. У сверхпроводников отсутствует электрическое сопротивление, так что тепловые потери при протекании тока не возникают, и сильные магнитные поля могут быть получены практически без потребления мощности.

К настоящему времени дальнейшее увеличение напряженности магнитного поля находится в прямой зависимости от обеспечения прочности токонесущих поверхностей, имеющих в основном вид тонких пластинок и оболочек, и устойчивости их первоначальной формы. Этим в значительной мере объясняется повышенный интерес к задачам, относящимся к прочности и устойчивости пластинок и оболочек в сильном электромагнитном поле.

В данной статье рассматривается устойчивость цилиндрической токонесущей оболочки бесконечной длины, изготовленной из сверхпроводящего материала, к малым радиальным возмущениям.



Фиг. 1.

Введем цилиндрическую систему координат  $x, y, z$  ( $e_x, e_y, e_z$  — единичные орты-векторы), совместив полярную ось  $x$  с осью оболочки (фиг. 1). Обозначим срединный радиус оболочки через  $R$ , а толщину оболочки — через  $h$ . Малые радиальные возмущения оболочки представим в виде бегущей волны вдоль оси  $x$

$$z = \tilde{z}_0 e^{i(kx - \omega t)} \quad (1)$$

где  $\tilde{z}_0$  — амплитуда колебаний,  $k = \frac{2\pi}{\lambda}$  — волновое число,  $\lambda$  — длина волны возмущения,  $\omega$  — круговая частота.

Предварительно заметим, что если проводник при своем движении пересекает силовые линии магнитного поля, то, как известно, немедленно возбуждается электродвижущая сила. В идеальном сверхпроводящем проводнике сколь угодно малая электродвижущая сила возбудила бы бесконечный ток, что невозможно. Следовательно, идеальная проводящая оболочка при колебаниях должна увлекать с собой магнитные силовые линии, прилегающие к поверхности оболочки. Иначе говоря, магнитное поле никогда не проникает в толщину сверхпроводника и магнитная индукция  $B$ , равна

$$\vec{B} = \mu_0 \vec{H}$$

где  $H$  — напряженность магнитного поля,  $\mu$  — относительная магнитная проницаемость,  $\mu_0 = \text{const}$  — магнитная проницаемость вакуума, в сечении сверхпроводящей оболочки всегда удовлетворяет условию [3]

$$\vec{B} = 0$$

Здесь уравнения даны в системе единиц СИ.

Таким образом, при колебаниях сверхпроводящей токонесущей оболочки сила постоянного тока  $\vec{J}$  по величине не меняется, возмущения же магнитного поля возможны только вне сверхпроводящего материала оболочки.

Предполагая, что характер возмущения напряженности магнитного поля  $\vec{h}$  таков, как и характер возмущения  $\vec{B}$  (1), представим его составляющие по осям  $x$ ,  $y$ ,  $z$  в виде

$$h_x = f_1(r) e^{i(k_z z - \omega t)}, \quad h_y = f_2(r) e^{i(k_z z - \omega t)}, \quad h_z = f_3(r) e^{i(k_z z - \omega t)} \quad (2)$$

где определению подлежат неизвестные функции  $f_i(r)$  ( $i = 1, 2, 3$ ).

Учитывая неизмеримо малую величину скорости распространения механических колебаний  $\frac{\omega}{k}$  по сравнению со скоростью света в вакууме  $c$ ,

$$\frac{\omega^2}{k^2} \ll c^2$$

распределение возмущений  $\vec{h}$  вне оболочки можно описать уравнениями Максвелла для статического поля [5]

$$\operatorname{rot} \vec{h} = 0, \quad \operatorname{div} \vec{h} = 0 \quad (3)$$

где  $\vec{b} = \mu_0 \vec{h}$  (не уменьшая общности, примем  $\mu = 1$ ).

Так как возмущения  $\vec{h}$  (2) от координат  $z$  не зависят, то по уравнениям (3) в цилиндрической системе координат  $\operatorname{rot} \vec{h}$  будет иметь следующий вид:

$$-\frac{1}{r} \frac{\partial}{\partial r} (rh_r) e_x + \left( \frac{\partial h_r}{\partial r} - \frac{\partial h_r}{\partial x} \right) e_y + \frac{\partial h_r}{\partial x} e_z = 0$$

и на

$$\frac{1}{r} \frac{\partial}{\partial r} (rh_r) = 0, \quad \frac{\partial h_r}{\partial r} - \frac{\partial h_r}{\partial x} = 0, \quad \frac{\partial h_r}{\partial x} = 0 \quad (4)$$

а дивергенция  $b$ , учитывая, что  $\mu_0$  — постоянная величина, будет равна

$$\frac{\partial h_r}{\partial x} + \frac{1}{r} \frac{\partial}{\partial r} (rh_r) = 0 \quad (5)$$

После подстановки выражения  $h_r$  из (2) в последнее уравнение системы (4) и дифференцирования по  $x$  следует принять

$$h_r = 0 \quad (6)$$

Из равенства (6) следует, что при радиальных колебаниях оболочки возмущения напряженности магнитного поля и окружном направлении всегда равны нулю.

При совместном решении второго уравнения системы (4) и уравнения (5) с учетом вида выражений  $h_x$  и  $h_z$  (2), в частности, для  $h_z$  получим уравнение Бесселя

$$\frac{d^2 f_1(r)}{dr^2} + \frac{1}{r} \frac{df_1(r)}{dr} - k^2 f_1(r) = 0 \quad (7)$$

причем

$$f_1(r) = \frac{1}{ik} \frac{df_1(r)}{dr} \quad (8)$$

Решение уравнения (7) выражается посредством функций Бесселя чисто мнимого аргумента нулевого порядка

$$f_1(r) = C_1 I_0(kr) + C_2 K_0(kr) \quad (9)$$

где  $C_1$  и  $C_2$  — неизвестные постоянные, определяемые из граничных условий.

Одно из граничных условий составляется из требования, чтобы магнитное поле было линиально касательно к суперпроводящей поверхности оболочки [3]

$$\vec{n} \cdot \vec{H} = 0 \quad (10)$$

где  $\vec{n}$  — единичный вектор нормали к поверхности оболочки.

Другое граничное условие составляется с учетом направления тока, протекающего по поверхности оболочки.

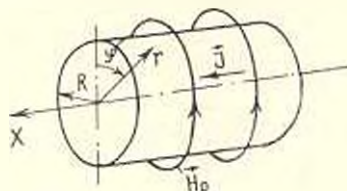
*Случай 1.* Ток  $\vec{j}$  направлен вдоль оси  $x$  (фиг. 2).

В этом случае напряженность магнитного поля отлична от нуля только вне оболочки в области  $r > R + \frac{h}{2}$  (для невозмущенного состоя-

ния) и  $r > R + \frac{h}{2} + \zeta$  (в возмущенном состоянии). В дальнейшем, как принято в теории тонких оболочек, все расчеты будут отнесены к срединной поверхности оболочки радиуса  $R$ . В невозмущенном состоянии напряженность магнитного поля  $H_0$  в данной системе координат равна

$$\vec{H}_0 = -\frac{i}{2\pi r} \vec{e}_r \quad (11)$$

откуда следует, что при  $r \rightarrow \infty$   $\vec{H}_0 \rightarrow 0$ . Следовательно, и возмущение  $h$  также должно стремиться к нулю. Поэтому в выражении (9) для рассматриваемого случая следует принять  $C_1 = 0$ .



Фиг. 2.

Итак,

$$h_1 = C_2 K_0(kr) e^{ikz-i\omega t} \quad (12)$$

а по уравнению (8)

$$h_r = iC_2 K_1(kr) e^{ikz-i\omega t} \quad (13)$$

где  $K_1(kr)$  — функция Макдональда первого порядка. Для определения постоянной  $C_2$  перейдем к уравнению (10).

Уравнение возмущенной поверхности оболочки задается в виде

$$r_0 = R + \zeta \quad (14)$$

где  $r_0$  — радиус оболочки. В случае задания поверхности уравнением вида (14) вектор внешней нормали  $n$  равен

$$\vec{n} = -\frac{p}{N} \vec{e}_x + \frac{1}{N} \vec{e}_r$$

где  $p = \frac{\partial r_0}{\partial x}$ , а  $N = \sqrt{p^2 + 1}$ .

После дифференцирования, пренебрегая членами второго порядка  $k^2$  по сравнению с единицей, получим для нормали  $n$  следующее выражение:

$$\vec{n} = -ik \vec{e}_x + \vec{e}_r \quad (15)$$

Напряженность магнитного поля  $H$  на поверхности оболочки  $r_0 = R + \epsilon$  с учетом возмущений  $h_r$  (12) и  $h_\theta$  (13), накладываемых на стационарное поле  $\tilde{H}_0$  (11), равна

$$H = C_2 K_0(kR) e^{i(kr - \omega t)} e_z - \frac{J}{2\pi(R + \epsilon)} e_z + iC_2 K_1(kR) e^{i(kr - \omega t)} e_r. \quad (16)$$

Подставив выражения (15) и (16) в граничное условие (10), получим

$$-iC_2 [kK_0(kR) - K_1(kR)] e^{i(kr - \omega t)} = 0$$

откуда имеем  $C_2 = 0$ . Тогда  $h_z = h_r = 0$ .

Таким образом, в случае осевого направления тока  $J$  при малых радиальных колебаниях сверхпроводящей оболочки возмущения магнитного поля, накладываемые на стационарное поле, по всем трем осям координат равны нулю. Физически это означает, что магнитное поле вне оболочки в возмущенном состоянии выражается так же, как в случае невозмущенной оболочки.

В общем случае на поверхность сверхпроводника в магнитном поле [3] действует давление

$$p = -\frac{HB}{2} n$$

которое в невозмущенном состоянии оболочки при  $r_0 = R$  с учетом (11) равно

$$p_0 = -\mu_0 \frac{H_0^2}{2} e_r = -\mu_0 \frac{J^2}{8\pi R^2} e_r \quad (17)$$

а в возмущенном состоянии при  $r_0 = R + \epsilon$  с учетом (15), (11), а также выражения (17) равно

$$p = ikp_0 e_r - \left(1 - 2 \frac{\epsilon}{R}\right) p_0 e_r \quad (18)$$

Из соотношения (18) следует, что в осевом направлении возмущенной оболочки появляется усилие

$$p_x = ikp_0 e_r.$$

Величина возмущения магнитного давления  $\Delta p$  на поверхности оболочки является разностью давлений в возмущенном (18) и невозмущенном (17) состояниях и равна

$$\Delta p = ikp_0 e_r : 2p_0 \frac{\epsilon}{R} e_r \quad (19)$$

В данном случае уравнения движения оболочки бесконечной длины без учета сил тяжести имеют следующий вид [4]:

$$\frac{\partial^2 u}{\partial x^2} + \frac{1}{R} \frac{\partial u}{\partial x} = -\frac{1-\nu^2}{Eh} \left( p_0 - \rho h \frac{\partial^2 u}{\partial t^2} \right) \quad (20)$$

$$\frac{\nu}{R} \frac{\partial u}{\partial x} + \frac{h^2}{12} \frac{\partial^4 u}{\partial x^4} + \frac{\zeta}{R^2} = \frac{1-\nu^2}{Eh} \left( p_0 - \rho h \frac{\partial^2 u}{\partial t^2} \right)$$

где  $u(x, t)$  — тангенциальное продольное перемещение,  $E$  — модуль упругости,  $\nu$  — коэффициент Пуассона,  $\rho$  — плотность материала оболочки. Так как  $u \ll \zeta$ , то, принимая инерционный член  $\rho h \frac{\partial^2 u}{\partial t^2} = 0$ , из

системы уравнений (20), после подстановки составляющих  $\Delta p$  (19) и дифференцирования по  $x$  и  $t$ , получим следующее характеристическое уравнение:

$$\omega^2 = \Omega^2 - \frac{2 + \nu}{R^2 h} p_0 \quad (21)$$

где  $\Omega^2 = \frac{1}{\rho h} \left( Dk^4 + \frac{Eh}{R^2} \right)$  — квадрат частоты собственных осесимметричных колебаний оболочки, а  $D = \frac{Eh^3}{12(1-\nu^2)}$  — цилиндрическая жесткость.

Как видно из выражения (21), давление возмущения магнитного поля  $\Delta p$ , возникающее при колебаниях токонесущей оболочки бесконечной проводимости, уменьшает устойчивость оболочки. В данном случае при увеличении радиуса оболочки ( $R > 0$ ) давление магнитного поля уменьшается по сравнению с невозмущенным состоянием оболочки, а при уменьшении радиуса ( $R < 0$ ) давление возрастает. Такого типа возмущения давления могут привести к перетяжке и неустойчивости поверхности оболочки.

Условием сохранения устойчивости оболочки является выполнение неравенства

$$p_0 < \frac{\rho h R}{2 + \nu} \Omega^2 \quad (22)$$

что является условием отсутствия минимум части в выражении частоты колебаний  $\omega$ , которое вообще может быть комплексным числом. Знак равенства соответствует критическому давлению магнитного поля.

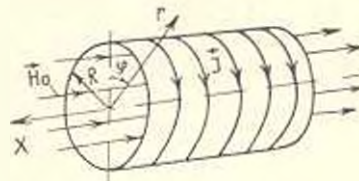
*Случай 2.* Ток  $I$  циркулирует по поверхности оболочки по винтовой линии (цилиндрический соленоид) (фиг. 3).

Пусть на единицу длины оболочки приходится  $n$  витков проводника, намотанных так плотно, что каждый виток соленоида можно заменить замкнутым кольцеобразным током той же силы. В этом случае [5] по поверхности оболочки вдоль  $x$  циркулирует равномерно распределенный поверхностный ток плотности

$$I_0 = n_0 f \bar{e}_x \quad (23)$$

Магнитное поле соленоида ( $r > R$ ) бесконечной длины равно нулю, а внутри соленоида ( $r < R$ ) поле однородно и равно

$$\vec{H}_0 = -i_0 \vec{e}_z \quad (24)$$



Фиг. 3.

Возмущения магнитного поля, возникающие при радиальных колебаниях оболочки, по-прежнему описываются уравнениями (4) и (5). Так как функция  $K_0(kr)$ , входящая в уравнение (9), имеет особенность в начале координат, то для рассматриваемой области  $0 < r < R$  следует положить  $C_2 = 0$ .

Тогда

$$h_x = C_1 I_0(kr) e^{i(kr-\omega t)} \quad (25)$$

и по уравнению (8)

$$h_r = -iC_1 I_1(kr) e^{i(kr-\omega t)} \quad (26)$$

где  $I_1(kr)$  — функция Бесселя чисто мнимого аргумента первого порядка.

Напряженность магнитного поля в возмущенном состоянии с учетом возмущений (25), (26) и стационарного магнитного поля (24) на поверхности оболочки при  $r_0 = R$  равна

$$\vec{H} = [-i_0 + C_1 I_0(kR) e^{i(kr-\omega t)}] \vec{e}_x - iC_1 I_1(kR) e^{i(kr-\omega t)} \vec{e}_r \quad (27)$$

Подставив выражения (15) и (27) в граничное условие (10)  $\vec{n} \cdot \vec{H} = 0$ , получим в заданном приближении

$$C_1 = \frac{k i_0}{I_1(kR)} \frac{1}{1 + k \frac{I_0(kR)}{I_1(kR)}} = \frac{k i_0}{I_1(kR)} \approx_0$$

Следовательно, подставив значение  $C_1$  в выражения (25) и (26), получим

$$h_x = k i_0 \frac{I_0(kr)}{I_1(kR)} \approx_0 \quad (28)$$

и

$$h_r = -k i_0 \frac{J_1(kr)}{I_1(kR)} \approx_0 \quad (29)$$

Таким образом, на внутренней поверхности оболочки при текущем  $r_0 = R$  напряженность магнитного поля на основании выражений (24), (28) и (29) будет равна

$$\vec{H} = -i_0 \left| 1 - k \frac{J_0(kR)}{J_1(kR)} \right| \vec{e}_r - iki_0 \vec{e}_\theta, \quad (30)$$

В рассматриваемом случае на внутреннюю поверхность невозмущенной оболочки действует растягивающее радиальное давление

$$\vec{p}_0 = \mu_0 \frac{H^2}{2} \vec{e}_r = \mu_0 \frac{i_0^2}{2} \vec{e}_r = \mu_0 \frac{n_0^2 f_0^2}{2} \vec{e}_r \quad (31)$$

В возмущенном состоянии, пренебрегая квадратами величин в сравнении с единицей, на основании выражений (15) и (30) величина давления будет

$$\vec{p} = -\frac{ik}{2} \mu_0 f_0^2 \vec{e}_r + \frac{i_0^2}{2} \left| 1 - 2k \frac{J_0(kR)}{J_1(kR)} \right| \vec{e}_r \quad (32)$$

Из соотношения (32) следует, что в осевом направлении, помимо радиального давления

$$\vec{p}_r = \frac{\mu_0 i_0^2}{2} \left| 1 - 2k \frac{J_0(kR)}{J_1(kR)} \right| \vec{e}_r$$

появляется усилие

$$\vec{p}_x = -\frac{ik}{2} \mu_0 f_0^2 \vec{e}_x$$

Величина возмущения магнитного давления  $\Delta p$  равна разности давлений в возмущенном (32) и невозмущенном (31) состояниях

$$\Delta \vec{p} = -ikp_0 \vec{e}_x - 2k \frac{J_0(kR)}{J_1(kR)} p_0 \vec{e}_r. \quad (33)$$

Из системы уравнений движения оболочки (20), принимая по-прежнему инерционный член  $\frac{d^2 u}{dt^2} = 0$ , получим следующее характеристическое уравнение

$$\omega^2 = \Omega^2 + \frac{1}{R_0 h} \left| 2kR \frac{J_0(kR)}{J_1(kR)} + v \right|^2 p_0 \quad (34)$$

Из выражения (34) следует, что магнитное поле в цилиндрическом соленоиде бесконечной проводимости в отличие от случая 1 (осевого направления тока (21)) увеличивает устойчивость оболочки при радиальных колебаниях токонесущей поверхности.

Физика БАО по Космическим Исследованиям

Филиал Государственного Института

Прикладной Optики

Поступила 14 II 1969

## Բ. Ն. ՀԱՎՈՅԻՄՅԱՆ

**ԱՆԱՀԻՄԻ ՀԱՎՈՅԻՄՅԱՆԻ ԹՅԱԾԱՄՑ ՀԱՍՏԱՐԱԿԵՐՊ ԳԼՈՒԽԵՅԻ ԹԱՂԱՆԹԻ  
ԿԱՑՈՒՆՈՒԹՅԱՆ ՄԱՍԻՆ**

Ա մ փ ո փ ու մ

Հազվածում զիտարկված է անվերջ երկար հասանքակիր զլանալին թաղանթի կազունաթյունը վազող ալիքի ամպի փոքր շառավղային տառանամների նկատմամբ՝ թաղանթների ակինչիկական տեսություն սահմաններում։

Անվերջ հաղորդականությամբ համար կիրառված է զերհազորի մակերեսային մակնիսական ոժագծերի շրջափող լինելու պարմանը։

Ցույց է տրված, որ հաստատուն հոսանքի առանցքային ողղվածության զերգույն շառավղային տառանաւմների մամանակ մակնիսական ճնշամը իշեղում է՝ թաղանթի կարւությունը. իսկ շրջանալին ուղղվածության զեպքում (զլանալին սոլինոիդ)՝ բարձրացնում է կարւությունը։

R. N. OVAKIMIAN

**THE STABILITY OF A CURRENT-CARRYING CYLINDRICAL SHELL OF INFINITE ELECTROCONDUCTIVITY**

S u m m a r y

The stability of a current-carrying shell of infinite length in relation to small radial oscillations is considered.

It is shown, that in the case of axial direction of the current the stability of the shell of infinite electroconductivity is decreased due to magnetic pressure while in the case of circular current the stability is increased.

Լ И Т Е Р А Т У Р А

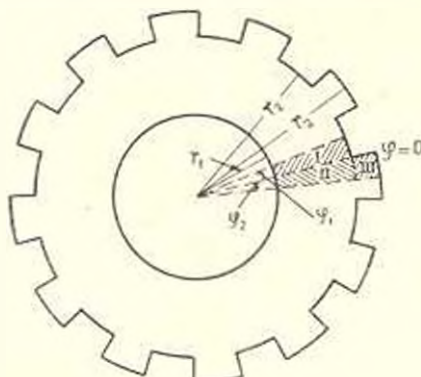
1. Кремлев М. Г. Сверхпроводящие магниты. УФН, т. 93, 675.
2. Сименон У., Крейн П., Струнин М. Успехи в создании сверхпроводящих магнитов. УФН, т. 93, 703.
3. Айндау Л. А., Анишанц Е. М. Электродинамика сплошных сред. Гостехиздат, М., 1957.
4. Болотин В. В. Некооперативные задачи теории упругой устойчивости. Физматгиз, М., 1961.
5. Гамк И. Е. Основы теории электричества. Гостехиздат, М., 1957.

Р. А. АРУТИОНИН

## КРУЧЕНИЕ КРУГЛОГО ПОЛОГО ВАЛА С ЗУБЦАМИ, СОСТАВЛЕННОГО ИЗ РАЗЛИЧНЫХ ПРИЗМАТИЧЕСКИХ СТЕРЖНЕЙ С СЕЧЕНИЯМИ В ВИДЕ КОЛЬЦЕВЫХ СЕКТОРОВ

Задача о кручении призматического стержня, составленного из различных материалов, впервые была поставлена и исследована Н. И. Мусхелишили [1]. Библиография работ, посвященных решению этой задачи для стержней конкретного сечения приведена в [1, 2].

В настоящей работе рассматривается задача кручения вала, составленного из  $n$  секций. Каждая из этих секций состоит из трех призматических стержней с сечениями в виде кольцевых секторов (фиг. 1). Рассматриваемая задача приводится к совокупности регулярных бесконечных систем линейных уравнений [2].



Фиг. 1

В силу симметрии задачи относительно  $2n$  радиусов замечаем, что функцию напряжений  $U(r, \varphi)$  достаточно определить только в части области, заключенной между двумя ближайшими радиусами симметрии (фиг. 1).

Функция  $U(r, \varphi)$  в областях I, II, III удовлетворяет уравнению

$$\varphi^2 U_i - \frac{\partial^2 U_i}{\partial r^2} - \frac{1}{r} \frac{\partial U_i}{\partial r} + \frac{1}{r^2} \frac{\partial^2 U_i}{\partial \varphi^2} = -2G_i \quad (i = 1, 2, 3) \quad (1)$$

где  $G_1, G_2, G_3$  — соответственно модули сдвига в областях I, II, III. На контурах этих областей  $U_i(r, \varphi)$  ( $i = 1, 2, 3$ ) удовлетворяют условиям

$$U_1(r_1, \varphi) = U_3(r_3, \varphi) = U_1(r_1, \pi) = U_3(r_3, \pi) = 0 \quad (2)$$

$$\left. \begin{aligned} \frac{1}{G_1} \frac{\partial U_1}{\partial z} &= \frac{1}{G_2} \frac{\partial U_2}{\partial \varphi} \quad \text{при } \varphi = 0, \quad r_1 < r < r_2 \\ \frac{1}{G_2} \frac{\partial U_2}{\partial r} &= \frac{1}{G_3} \frac{\partial U_3}{\partial r} \quad \text{при } r = r_2, \quad -\varphi_2 < \varphi < 0 \end{aligned} \right| \quad (3)$$

$$U_1(0, r) = U_2(0, r); \quad U_3(\varphi, r_2) = U_2(\varphi, r_2) \quad (4)$$

$$\left( \frac{\partial U_1}{\partial z} \right)_{z=r_1} - \left( \frac{\partial U_2}{\partial z} \right)_{z=r_1} = \left( \frac{\partial U_2}{\partial z} \right)_{z=r_2} = 0; \quad U_3(0, r) = 0 \quad (5)$$

Производя замену

$$t = \ln \frac{r}{r_1} \quad (6)$$

и представляя функцию  $U(r, z)$  в виде

$$U_i(r, z) = G_i \left[ \Phi_i(t, \varphi) - \frac{1}{2} r_2^2 e^{2t} \right] \quad (i = 1, 2, 3) \quad (7)$$

получаем, что функции  $\Phi_i(t, \varphi)$  ( $i = 1, 2, 3$ ) удовлетворяют уравнению Лапласа и условиям

$$\Phi_{01}(-t_0, \varphi) = \frac{U_0}{G_1} + \frac{1}{2} r_2^2 e^{-2t_0} \quad (8)$$

$$\Phi_{02}(-t_1, \varphi) = \frac{U_0}{G_2} + \frac{1}{2} r_2^2 e^{-2t_1} \quad (9)$$

Ищем решение этого уравнения в виде

$$\Phi(t, \varphi) = \begin{cases} \Phi_1(t, \varphi) & 0 < \varphi < \varphi_1; \quad -t_1 < t < 0 \\ \Phi_2(t, \varphi) & -\varphi_2 < \varphi \leq 0; \quad -t_1 < t < 0 \\ \Phi_3(t, \varphi) & -\varphi_2 < \varphi \leq 0; \quad 0 \leq t \leq t_0 \end{cases} \quad (10)$$

где

$$t_1 = \ln \frac{r_1}{r_2}, \quad t_2 = \ln \frac{r_2}{r_1} \quad (11)$$

Решив уравнение Лапласа методом разделения переменных, получим для  $\Phi_i(t, \varphi)$  ( $i = 1, 2, 3$ ) следующие выражения:

$$\begin{aligned} \Phi_1(t, \varphi) &= \sum_{k=1}^{\infty} (A_k^{(1)} \sinh x_k^{(1)} t + B_k^{(1)} \cosh x_k^{(1)} t) \sin x_k^{(1)} \varphi + \\ &+ \sum_{k=1}^{\infty} (C_k^{(1)} \sinh \beta_k^{(1)} \varphi + D_k^{(1)} \cosh \beta_k^{(1)} \varphi) \sin \beta_k^{(1)} t \end{aligned} \quad (12)$$

$$\left. \begin{aligned} \tau_k = \alpha_k^{(1)} &= \frac{(2k-1)\pi}{2\tau_1}, & \beta_k = \beta_k^{(1)} = \beta_k^{(2)} &= \frac{k\pi}{t_1} \\ \tau_k = \beta_k^{(2)} - \alpha_k^{(2)} &= \frac{(2k-1)\pi}{2\tau_2}, & \gamma_k = \gamma_k^{(1)} &= \frac{k\pi}{t_2} \end{aligned} \right\} \quad (13)$$

Удовлетворяя условиям (11), для определения постоянных  $B_k^{(1)}$  и  $D_k^{(1)}$  получаем совокупность бесконечных систем линейных уравнений

$$\left. \begin{aligned} X_k &= \sum_{p=1}^{\infty} a_{kp} Y_p + P_k \\ Y_k &= \sum_{p=1}^{\infty} b_{kp} X_p + Q_k \end{aligned} \right\} \quad (k = 1, 2, \dots) \quad (14)$$

где

$$\left. \begin{aligned} r_k \tau_2 B_k^{(1)} &= r_1 Y_k - r_2^2 \\ \beta_k \tau_1 D_k^{(1)} &= X_k - r_2^2 \Phi_{02} (-1)^{k+1} \end{aligned} \right\} \quad (15)$$

$$a_{kp} = \frac{2/\beta_k}{\tau_1 (\operatorname{th} \beta_k \tau_1 + g_{2,1} \operatorname{th} \beta_k \tau_1) (\beta_k^2 + r_k^2)} \quad (16)$$

$$b_{kp} = \frac{2r_k}{\tau_1 (\operatorname{cth} \beta_k t_1 + g_{2,1} \operatorname{cth} \beta_k t_1) (\beta_k^2 + r_k^2)} \quad (17)$$

$$P_k = -(1 - g_{2,1}) \frac{4r_k [1 + (-1)^{k+1} e^{-it_1}] \operatorname{th} \beta_k \tau_1}{(\operatorname{th} \beta_k \tau_1 + g_{2,1} \operatorname{th} \beta_k \tau_1) (4 + \beta_k^2)} \quad (18)$$

$$\begin{aligned} Q_k &= -\frac{2r_k^2}{\tau_1 (r_k^2 - 4) (\operatorname{cth} \beta_k t_1 + g_{2,1} \operatorname{cth} \beta_k t_1)} \left\{ 1 - \right. \\ &\quad \left. + \frac{r_k^2 - 4}{2r_k^2 t_1} \left( \frac{2\Phi_{02}}{r_k^2} - 1 \right) + \frac{2}{\lambda_k} \left( \operatorname{cth} \beta_k t_1 - \frac{e^{2it_1}}{\operatorname{sh} \beta_k t_1} \right) \right\} \end{aligned} \quad (19)$$

Вводя новые обозначения, (14) можно рассматривать как одну бесконечную систему

$$Z_i = \sum_{n=1}^{\infty} A_{in} Z_n + N_i \quad (i = 1, 2, 3) \quad (20)$$

где

$$Z_{2k-1,n} = X_k, \quad Z_{2k} = Y_k \quad (k = 1, 2, \dots)$$

Покажем, что система (20) вполне регулярна

$$\begin{aligned} \sum_{n=1}^{\infty} A_{2k-1,n} &= \sum_{p=1}^{\infty} a_{kp} = \frac{2/r_k}{\tau_1 (\operatorname{th} \beta_k \tau_1 + g_{2,1} \operatorname{th} \beta_k \tau_1)} \sum_{p=1}^{\infty} \frac{1}{r_k^2 + \beta_k^2} = \\ &= \frac{2}{\operatorname{th} \beta_k \tau_2 + g_{2,1} \operatorname{th} \beta_k \tau_1} \left( \operatorname{cth} \beta_k \tau_2 - \frac{1}{\beta_k \tau_2} \right) \leq \frac{2}{1 + g_{2,1}} \end{aligned} \quad (21)$$

$$\sum_{n=1}^{\infty} A_{2k+n} = \sum_{p=1}^{\infty} b_{kp} \frac{2i_1}{\ell_1 (\operatorname{cth} i_1 \ell_1 + g_{2,3} \operatorname{cth} i_1 \ell_1)} \sum_{n=1}^{\infty} \frac{1}{\beta_p^2 + \ell_1^2} = \\ = \frac{1}{\gamma (\operatorname{cth} i_1 \ell_1 + g_{2,3} \operatorname{cth} i_1 \ell_1)} \left( \operatorname{cth} i_1 \ell_1 - \frac{1}{i_1 \ell_1} \right) < \frac{1}{\gamma (1 + g_{2,3})} \quad (22)$$

число  $\gamma$  выбираем из равенства

$$\frac{\gamma}{1 + g_{2,3}} = \frac{1}{\gamma (1 + g_{2,3})} \quad \gamma = \sqrt{\frac{1 + g_{2,3}}{1 + g_{2,3}}} \quad (23)$$

Таким образом, вполне регулярность (20), следовательно и (14), доказана. Легко видеть из (18) и (19), что свободные члены системы (20) ограничены сверху и при  $i \rightarrow \infty$  стремятся к нулю.

Подставляя значения постоянных интегрирования в (12), получаем выражения функций  $\Phi_i(t, \varphi)$  ( $i = 1, 2, 3$ ):

Для определения постоянной  $U_0$  воспользуемся обобщенной теоремой Бредта [2] о циркуляции касательного напряжения при кручении составных призматических стержней:

$$\int_{\Gamma_0} \tau_{zz}^{(i)} ds = 2G_i \Omega_0 \quad (24)$$

где  $\Gamma_0$  — внутренний контур сечения,  $\Omega_0$  — площадь, ограниченная контуром  $\Gamma_0$ .

$$\begin{aligned} \tau_{zz}^{(1)} &= -\frac{G_1 e^{-t}}{r_2} \frac{\partial U_1}{\partial t} = -\frac{G_1 e^{-t}}{r_2} \left( \frac{\partial \Phi_1}{\partial t} - r_2^2 e^{2t} \right) \\ \tau_{zz}^{(2)} &= -\frac{G_2 e^{-t}}{r_2} \frac{\partial U_2}{\partial t} = -\frac{G_2 e^{-t}}{r_2} \left( \frac{\partial \Phi_2}{\partial t} - r_2^2 e^{2t} \right) \end{aligned} \quad | \quad (25)$$

Соотношение (24) при помощи (25) после некоторых преобразований приводится к виду

$$\int_{-\varphi_2}^{\varphi_1} \left( \frac{\partial \Phi}{\partial t} \right)_{t=-t_1} d\varphi = \int_{-\varphi_2}^0 \left( \frac{\partial \Phi_2}{\partial t} \right)_{t=-t_1} d\varphi + \int_0^{\varphi_1} \left( \frac{\partial \Phi_1}{\partial t} \right)_{t=-t_1} d\varphi \quad (26)$$

Подставив значения функций  $\Phi_1(t, \varphi)$  и  $\Phi_2(t, \varphi)$  в это соотношение и производя интегрирование, получим для определения постоянной  $U_0$  следующую формулу:

$$r_2^2 (\varphi_1 + \varphi_2) - 2(\Phi_0 \varphi_1 + \Phi_0 \varphi_2) - \frac{2\gamma}{\varphi_2} \sum_{p=1}^{\infty} \frac{Y_p}{\beta_p^2} = 0 \quad (27)$$

В частном случае, когда

$$G_1 = G_2, \quad G_2 \neq G_3$$

$$\begin{aligned} X_k &= \sum_{p=1}^{\infty} a_{kp} Y_p \\ Y_k &= \sum_{p=1}^{\infty} b_{kp} X_p + Q_k \end{aligned} \quad | \quad (28)$$

где

$$a_{kp} = \frac{2\beta_k}{\varphi_2(\operatorname{th} \beta_k \varphi_2 - \operatorname{th} \beta_k \varphi_1)(\beta_p^2 + \beta_k^2)} \quad (29)$$

Жесткость при кручении составного призматического стержня определяется по формуле

$$C = 2G_I \left| U_0 \Omega_0 + \int_0^{\Omega} U d\Omega \right| \quad (30)$$

где  $U_0$ —значение напряжений на внутреннем контуре;  $\Omega_0$ —площадь, ограниченная внутренним контуром;  $\Omega$ —область сечения стержня. Подставив в (30)  $U_i(t, \varphi) = \Phi_i(t, \varphi) - \frac{1}{2} r_i^2 e^{2t}$  ( $i = 1, 2, 3$ ) и используя выражения  $\Phi_i(t, \varphi)$  ( $i = 1, 2, 3$ ), после интегрирования получим для определения жесткости  $C$  следующую формулу:

$$\begin{aligned} C &= nG_I \varphi_1 \frac{1}{2t_1} (2\Phi_{01} - r_2^2) (r_1^2 - r_1^2) + nG_I \varphi_2 \frac{1}{2t_2} (2\Phi_{02} - r_3^2) (r_2^2 - r_2^2) - \\ &\quad - nG_I \varphi_1 \frac{1}{2t_1} (r_1^2 - r_2^2)^2 + \frac{n}{2} \varphi_2 (G_3 r_3^4 - G_2 r_2^4) + \\ &\quad + nG_I \varphi_1 \left( \frac{r_2^4}{2} + \frac{r_1^4}{2} - 2\Phi_{01} r_1^2 \right) + nG_I \varphi_2 \left( \frac{r_3^4}{2} + \frac{r_2^4}{2} - 2\Phi_{02} r_2^2 \right) - \\ &\quad - \frac{n}{2} G_3 \varphi_2 r_2^4 + G_1 \varphi_1 r_1^2 \left( \Phi_{01} - \frac{r_1^2}{2} \right) + G_2 \varphi_2 r_2^2 \left( \Phi_{02} - \frac{r_2^2}{2} \right) + \\ &\quad + \frac{4nG_2 r_2^2 t_1}{\varphi_2} \sum_{k=1}^{\infty} \frac{Y_k}{\beta_k (4 - \beta_k^2)} \left( \operatorname{ceth} \beta_k t_1 + \operatorname{ceth} \beta_k t_2 - \frac{e^{2t_1}}{\operatorname{sh} \beta_k t_2} \right) - \\ &\quad - \frac{e^{-2t_1}}{\operatorname{sh} \beta_k t_1} - \frac{16nG_3 r_2^4}{t_2} \sum_{k=1}^{\infty} \frac{[1 + (-1)^{k+1} e^{2t_1}]^2}{\beta_k (4 + \beta_k^2)^2} \operatorname{th} \beta_k \varphi_2 - \\ &\quad - \frac{4nG_3 r_2^2}{\varphi_2} \sum_{k=1}^{\infty} \frac{X_k [1 + (-1)^{k+1} e^{-2t_1}]}{\beta_k (4 + \beta_k^2)} (\operatorname{th} \beta_k \varphi_1 + \operatorname{th} \beta_k \varphi_2) + \\ &\quad + (1 - g_{\varphi_1}) \frac{16nr_2^4}{t_1} \sum_{k=1}^{\infty} \frac{[1 + (-1)^{k+1} e^{-2t_1}]^2}{\beta_k (4 - \beta_k^2)^2} \operatorname{th} \beta_k \varphi_1 \quad (31) \end{aligned}$$

В качестве численных примеров рассмотрим случай, когда число зубцов равняется двадцати, а размеры сечения определяются следующими соотношениями:

$$\begin{aligned} G_1 = G_2, \quad \frac{r_2}{3} - \frac{r_1}{2} = r_1, \quad n = 12 \\ \frac{G_2}{G_1} = 2, \quad \varphi_1 = \varphi_2 = \frac{\pi}{24} \end{aligned} \quad | \quad (32)$$

Решив бесконечные системы (14), получим для неизвестных следующие оценки:

$$\begin{aligned} -0.048248 r_1^2 &\leq X_1 \leq -0.047349 r_1^2 \\ -0.021953 r_1^2 &\leq X_2 \leq -0.021589 r_1^2 \\ -0.019790 r_1^2 &\leq X_3 \leq -0.019434 r_1^2 \\ -0.018320 r_1^2 &\leq X_4 \leq -0.017981 r_1^2 \\ -0.016919 r_1^2 &\leq X_5 \leq -0.016561 r_1^2 \\ -0.052424 r_1^2 &\leq Y_1 \leq -0.051656 r_1^2 \\ -0.022657 r_1^2 &\leq Y_2 \leq -0.022337 r_1^2 \\ -0.013446 r_1^2 &\leq Y_3 \leq -0.013193 r_1^2 \\ -0.008230 r_1^2 &\leq Y_4 \leq -0.008037 r_1^2 \\ -0.007405 r_1^2 &\leq Y_5 \leq -0.007248 r_1^2 \end{aligned}$$

При этом были использованы определенные по формуле (27) значения постоянной  $\Phi_{02}$  с избытком и недостатком

$$0.501848 \leq \frac{\Phi_{02}}{r_1^2} \leq 0.501981 \quad (33)$$

Используя эти оценки и (33), на основании (31) получим следующую оценку для жесткости:

$$1.794819 \leq \frac{C}{G_1 r_1^4} \leq 1.796523 \quad (34)$$

В таблице приводятся значения напряжений в некоторых характерных точках с избытком и недостатком:

Точки сечения	(0, 0)	$\left(0, -\frac{\varphi_2}{4}\right)$	$\left(0, -\frac{\varphi_2}{2}\right)$	$\left(0, -\frac{3}{4}\varphi_2\right)$	$\left(0, -\varphi_2\right)$
$\frac{G_1^2 r_2}{G_2^2 r_1}$	С недостатком	$\infty$	0.228604	0.110056	0.74267
$\frac{G_1^2 r_2}{G_2^2 r_1}$	С избытком	$\infty$	0.236487	0.123452	0.802421
$\frac{G_1^2 r_2}{G_2^2 r_1}$	С недостатком	$\infty$	1.196342	1.155037	0.824775
$\frac{G_1^2 r_2}{G_2^2 r_1}$	С избытком	$\infty$	1.205001	1.164622	0.832729
					0.653832

Автор выражает благодарность К. С. Чобаняну за ценные советы.

### III. ИЗВЕЩАНИЯ

ԱՐԴՅՈՒՆՈՒԹՅԱՆ ԱՎԱՍՏԻՐԻ ՏԵՍՔ ԱԲԵՋԵՑՈՒՅԻ ԸՆԴՀԱՆՈՒՐԻ  
ՊՐԻԶՄԱՆԻ ԶՈՂԱՐԻՑ ԿԱԶՄԱԿԱՆ ՄԱՍԱՐԵՑ ԱՏԱՄԱՆԱԳՈՐ ԼԻՍԵԱՆ  
ՈՂԱՐՈՒՄԸ

### Ա. Ճ Փ Ա Փ Ա Շ Ա

Աշխատանքամ՝ պիտուրիամ է ազակի սեկտորի բնդրայնական հատված-  
քայ պրիզմանի մագնիսներից կազմված մասմէջ և առամենայոր լիսեան  
պարունակությունը (գլ. 1):

Խաղիքը լուծված է բարձան փունկյալի միջոցով, որը լուրաբանաբար  
աիրութեամ, բայ ապրեկը նկայիրի, ներկայացված է համակյունաչափական  
շարքի միջոցով: Օգտագործելով ինդոքի եղբայրին պայմանները, ինչպիս  
նու ապրեկը աիրութեամ բարձան զժերի գրա սեղափախումների և լու-  
րամների առաջարկափառն բարձրիցների անընդհատության պայմանները  
շարքի գործադիմների համար ստացված է հավասարումների անմիջական պա-  
տճեմների երկու համարմբ:

Խաղացուցան է այդ համախմբի լուսին սեղույթաբաթիւնը և ազատ  
անընդհանությունը առաջանափակությունը: Արաշված է կոշտությունը և լուրամները  
առաջանական ընդունակությունը:

R. A. ARUTIUNIAN

### TORSION OF A CIRCULAR HOLLOW SHAFT WITH DENTS COMPOSED OF DIFFERENT PRISMATIC BARS AND RING SECTOR SHAPE SECTIONS

#### Summary

The problems of torsion round hollow shaft with teeth composed of different prismatic bars and ring sector shape sections in work, are shown in figure (1).

The problem is solved by tensional function which in each interval, according to different materials, are presented by trigonometrical rows. Using the limiting conditions of the problem and also the replacement on different intervals of the separating lines and the conditions of continuity for corresponding tensions' components of the coefficients of rows, are obtained from the equations of the two infinite systems taken together.

Complete regularity of the convention and the limit of the free members are proved.

The rudeness and the tension of the sections at definite points are determined.

#### Л И Т Е Р А Т У Р А

1. *Мусхелишвили Н. И.* Некоторые основные задачи математической теории упругости. Изд. АН СССР, М., 1954.
2. *Арутюнян Н. Х. и Абрамян Б. Л.* Кручение упругих тел. Физматгиз, М., 1963.
3. *Чобанян К. С.* Применение функций напряжений к задаче о кручении призматических стержней, составленных из различных материалов. Изв. АН АрмССР, серия физ.-мат., ест. и техн. наук, VIII, № 2, 1955, 17—20.
4. *Чобанян К. С., Галфаян П. О.* Задачи о кручении прямоугольного стержня с тонким усиливющим покрытием. Изв. АН СССР, ОТН, серия механика и машиностроение, № 1, 1960, 165—167.
5. *Галфаян П. О., Чобанян К. С.* Приближенное решение некоторых задач о кручении стержней с тонким усиливющим покрытием. Изв. АН СССР, ОТН, серия механика и машиностроение, № 4, 1959, 85—92.
6. *Абрамян Б. Л., Топалин В. С.* Кручение призматических стержней с поперечным сечением в виде кольцевого сечения с зубцом. Изв. АН АрмССР, т. 12, № 6, 1959.
7. *Канторович Л. В., Крылов И. Я.* Приближенные методы вычисления. М.-Л., 1949.